

УСИЛЕНИЕ ЗОННОГО МАГНЕТИЗМА И ОСОБЕННОСТИ МАГНИТОУПОРЯДОЧЕННОГО СОСТОЯНИЯ В СОЕДИНЕНИИ CeB₆ С СИЛЬНЫМИ ЭЛЕКТРОННЫМИ КОРРЕЛЯЦИЯМИ

H. E. Служанко^a, A. B. Богач^{a,b}, B. B. Глушков^{a,b}, C. B. Демишиев^{a,b}, B. Ю. Иванов^a,
M. И. Игнатов^{a,b}, A. B. Кузнецов^{a,c}, H. А. Самарин^a, A. B. Семено^a, H. Ю. Шицевалова^d*

^a Институт общей физики им. А. М. Прохорова Российской академии наук
119991, Москва, Россия

^b Московский физико-технический институт
141700, Долгопрудный, Московская обл., Россия

^c Московский инженерно-физический институт
115409, Москва, Россия

^d Институт проблем материаловедения Национальной академии наук Украины
03680, Киев, Украина

Поступила в редакцию 7 июля 2006 г.

В диапазоне температур 1.8–300 К выполнены прецизионные измерения транспортных и магнитных характеристик монокристаллических образцов CeB₆ высокого качества. Показано, что при $5 \text{ K} < T < T^* \approx 80 \text{ K}$ удельное сопротивление подчиняется не логарифмической зависимости, характерной для кондового механизма рассеяния носителей заряда, а закону $\rho \propto T^{-1/\eta}$, отвечающему режиму слабой локализации с критическим индексом $1/\eta = 0.39 \pm 0.02$. Для магнитной восприимчивости CeB₆ вместо кюри-вейссовской зависимости в диапазоне 15–300 К найдена асимптотика $\chi(T) \propto T^{-0.8}$. Исследования полевых зависимостей намагниченности, магнитосопротивления и коэффициента Холла в парамагнитной и магнитоупорядоченных фазах CeB₆, а также сопоставление с результатами измерений коэффициента термоэдс, неупругого рассеяния нейтронов и ЭПР-спектроскопии позволяют сделать вывод о неприменимости моделей кондо-решетки и асимметричного рассеяния к описанию транспортных и термодинамических характеристик этого соединения с сильными электронными корреляциями. На основе детального анализа экспериментальных данных предложен альтернативный подход к интерпретации свойств CeB₆, основанный на 1) предположении о зонном парамагнетизме и существенной перенормировке с понижением температуры плотности электронных состояний в окрестности энергии Ферми, связанной с образованием тяжелых фермионов (спин-поляронных состояний) в металлической матрице CeB₆ в окрестности Ce-центров; 2) формировании из спиновых поляронов при $3.3 \text{ K} < T < 7 \text{ K}$ ферромагнитных областей наноразмера и переходе в состояние с волновой спиновой плотностью (ВСП) при $T_Q \approx 3.3 \text{ K}$; 3) реализации сложной магнитной фазовой H - T -диаграммы CeB₆, обусловленной возрастанием в магнитном поле амплитуды ВСП и конкуренцией между ВСП и антиферромагнетизмом локализованных магнитных моментов ионов церия.

PACS: 72.15.Qm

1. ВВЕДЕНИЕ

Начиная с 60-х годов (см., например, [1]), соединение CeB₆ вызывает значительный интерес ис-

следователей, поскольку считается классическим примером концентрированной кондо-системы (dense Kondo system) с практически равными значениями концентраций магнитных Ce-центров n_{4f} и электронов проводимости n_e [2]. На температурной зави-

*E-mail: nes@it.gpi.ru

симости удельного сопротивления ρ этого соединения наблюдается протяженный участок его роста с понижением температуры, который принято считать кондовским: $\rho(T) \propto \ln T$ [3, 4], сменяющийся резким уменьшением сопротивления при переходе к когерентному режиму зарядового транспорта при гелиевых температурах. Кроме того, утверждается, что наряду с механизмом кондо-компенсации локализованных магнитных моментов ионов Ce^{3+} в CeB_6 при $T_Q \approx 3.3$ К возникает необычное антиферроквадрупольное (АФК) орбитальное упорядочение, сменяющееся с понижением температуры при $T_N \approx 2.3$ К антиферромагнитной (АФМ) модулированной структурой [2–5]. Подчеркнем, что, несмотря на продолжительную историю вопроса [1–17], магнитная структура и характер магнитных взаимодействий в магнитоупорядоченных фазах CeB_6 вплоть до настоящего времени являются предметом активных дискуссий. Так, недавно в работе [17] для описания результатов экспериментов по рассеянию нейтронов и μSR -спектроскопии в АФМ-фазе была предложена модель двойной ($\mathbf{k} - \mathbf{k}'$) попечерной синусоидально модулированной магнитной структуры с чередованием слоев локализованных магнитных моментов церия. Исследования дифракции поляризованных нейтронов и μSR -измерения в АФК-фазе обнаружили возникновение индуцированных магнитным полем областей магнитной поляризации как в непосредственной окрестности, так и внутри октаэдров B_6 в матрице гексаборида церия [14–16]. Недавние эксперименты по рентгеновской дифракции [18] и анализ рассеяния поляризованных нейтронов [19] в АФК-фазе позволили зарегистрировать рефлексы магнитной структуры с $\mathbf{k}_{13} = (2\pi/a)[1/2, 1/2, 1/2]$ в отсутствие внешнего магнитного поля, противоречащие стандартной модели АФК-упорядочения, что может указывать на взаимосвязь указанных особенностей и зонного магнетизма $5d$ -электронов ионов церия [19]. В то же время результаты нейтронных исследований в сильных магнитных полях (40–50 кЭ), выполненных для магнитоупорядоченных фаз CeB_6 , привели авторов работы [12] к выводу о локализации спин-поляризованных состояний исключительно на Се-центрах.

Достаточно неопределенно и противоречно выглядят также известные к настоящему времени результаты исследований магнитных характеристик CeB_6 . Так, данные измерений магнитной восприимчивости в интервале температур 150–600 К описываются [20] кюри-вейссовской зависимостью

$$\chi = \frac{N}{V} \frac{\mu_{eff}^2}{3k_B(T + \Theta_p^M)} \quad (1)$$

с эффективным магнитным моментом $\mu_{eff} \approx 2.34\mu_B$ на ион церия и парамагнитной температурой Кюри $\Theta_p^M \approx -62$ К, тогда как в работе [21] для μ_{eff} найдено значение $2.44\mu_B$ при $T > 100$ К и $\mu_{eff} \approx \mu_B$, $\Theta_p^M \approx -6$ К при $T \leq 30$ К. При анализе данных магнитных измерений CeB_6 при $T \geq 100$ К были получены [22] отличающиеся от приведенных выше значения $\mu_{eff} \approx 2.5\mu_B$ и $\Theta_p^M \approx -175$ К.

Достаточно противоречивым представляется описание результатов измерений низкотемпературной намагниченности CeB_6 . В АФК-фазе гексаборида церия найдено значение, сравнимое с магнитным моментом насыщения свободного иона Ce^{3+} ($2.14\mu_B$ [7]), тогда как в работах [9, 20] магнитный момент обсуждается в терминах локализованных магнитных моментов Γ_7 -состояния Ce^{3+} ($0.71\mu_B$), а в работах [3, 23] он считается обусловленным основным квартетным Γ_8 -состоянием Ce^{3+} . В последнем случае величина μ_{eff} зависит от ориентации поля в ОЦК-решетке гексаборида церия и изменяется в пределах $\mu_{eff} \approx (1.29-1.57)\mu_B$ [3, 23]. В то же время важно отметить, вслед за авторами работы [9], очевидное противоречие между полученным из измерений статической магнитной восприимчивости при $T > 100$ К значением $\mu_{eff} \approx 2.32\mu_B$ и найденной в экспериментах по рассеянию нейтронов в CeB_6 величиной $\mu_{eff} \approx 1.0\mu_B$, практически не зависящей от температуры в интервале 5–220 К.

Учитывая изложенное выше, для выяснения природы необычного низкотемпературного магнетизма CeB_6 и описания его магнитных свойств представляет интерес проведение прецизионных измерений магнитных характеристик при низких и промежуточных температурах, отвечающих парамагнитной и магнитоупорядоченным АФМ- и АФК-фазам, на монокристаллических образцах высокого качества и сопоставление их результатов с предсказаниями существующих теоретических моделей. С учетом предложенного в работах [24–26] подхода к количественному описанию отрицательного магнитосопротивления $\Delta\rho/\rho = f(T, H)$ в интерметаллидах на основе церия в терминах локальной магнитной восприимчивости

$$\chi_{loc}(T, H) = \sqrt{-\frac{1}{H} \frac{d(\Delta\rho/\rho)}{dH}} ,$$

дополнительная информация о локальных магнитных характеристиках χ_{loc} и M_{loc} может быть по-

лучена из детальных исследований эффекта отрицательного магнитосопротивления в гексабориде церия. Поскольку несомненно важным является установление взаимосвязи между аномалиями магнитных и транспортных характеристик в CeB_6 , в число задач настоящего исследования включены также прецизионные измерения эффекта Холла при различных ориентациях измерительного тока и магнитного поля.

Вслед за Введением, в разд. 2 приводится информация об особенностях используемых экспериментальных методик. В п. 3.1. показано, что изменения с температурой удельного сопротивления и магнитной восприимчивости в CeB_6 не могут быть описаны с помощью соответственно модели кондо-решетки и кюри-вейссовой зависимости. Найдено, что наиболее адекватной является интерпретация в терминах слабой локализации носителей заряда (асимптотика $\rho(T) \propto T^{-0.39}$), причем в парамагнитной фазе вместо закона Кюри–Вейсса (1) наблюдается зависимость вида $\chi(T) \propto T^{-0.8}$. Представленные исследования полевых зависимостей намагниченности (п. 3.2) и магнитосопротивления (п. 3.3) в сочетании с данными холловских измерений (п. 3.4) и результатами исследований коэффициента термоэдс [27] приводят к выводу (разд. 4) о зонной природе магнетизма в парамагнитной и АФК-фазах CeB_6 . В разд. 4 показано, что с понижением температуры в гексабориде церия происходит перенормировка плотности электронных состояний, связанная, по-видимому, с возникновением спин-поляронного резонанса в окрестности уровня Ферми E_F . Подробно обсуждаются особенности переходов из парамагнитной в АФК-фазу при $T_Q \approx 3.3$ К и, далее, при $T_N \approx 2.3$ К в АФМ-фазу в CeB_6 . На основании полученных экспериментальных результатов и выполненных оценок показано, что вместо общепринятой интерпретации в терминах АФК-фазы наиболее вероятным сценарием является возникновение состояния типа волны спиновой плотности (ВСП) из сформированных в парамагнитной фазе тяжелых фермionов — наноразмерных областей спиновой поляризации носителей заряда. В разд. 5 приводятся основные выводы настоящего исследования.

2. МЕТОДИКА ЭКСПЕРИМЕНТА

В работе выполнены детальные исследования намагниченности, магнитосопротивления и холловского сопротивления монокристаллических образцов высокого качества в широком диапазоне температур

1.8–300 К в магнитном поле вплоть до 70 кЭ, приложенном вдоль различных кристаллографических направлений в ОЦК-структуре гексаборида церия. Используемые для измерений монокристаллы выращены методом вертикального бестигельного индукционного зонного плавления в атмосфере инертного газа на установке, подробно описанной в работе [28]. Измерения намагниченности $M(H, T)$ проводились на модернизированном вибрационном магнитометре LDJ-1500 (США) и СКВИД-магнитометре оригинальной конструкции [29]. Для исследований магнитосопротивления и эффекта Холла применялась экспериментальная установка, аналогичная использовавшейся в работе [30]. Измерения холловского сопротивления проводились методом вращения с пошаговой фиксацией положения образца в магнитном поле постоянных магнитов. Необходимая для выполнения численного дифференцирования экспериментальных кривых $\Delta\rho/\rho = f(H, T)$ точность стабилизации температуры (0.01–0.02 К) измерительной ячейки с образцом достигалась при использовании температурного контроллера оригинальной конструкции на цифровых сигнальных процессорах в схеме с эталонным термометром сопротивления фирмы Lake Shore Cryotronics модели CERNOX 1050.

3. ЭКСПЕРИМЕНТАЛЬНЫЕ РЕЗУЛЬТАТЫ

1. Температурные зависимости удельного сопротивления $\rho(T)$ и магнитной восприимчивости $\chi(T)$ исследуемых образцов CeB_6 представлены на рис. 1, где также показан магнитный вклад в сопротивление, $\rho_m(T) = \rho_{\text{CeB}_6}(T) - \rho_{\text{LaB}_6}(T)$, полученный вычитанием из исходной кривой $\rho(T)$ для CeB_6 удельного сопротивления немагнитного аналога — соединения LaB_6 . Как видно из используемого на рис. 1 представления данных в двойных логарифмических координатах, в интервале температур 7–80 К поведение сопротивления $\rho_m(T)$ достаточно хорошо описывается степенной зависимостью вида

$$\rho_m(T) \propto T^{-\alpha} \quad (2)$$

с индексом $\alpha = 0.39 \pm 0.01$. Отметим, что такое изменение удельного сопротивления с температурой обычно связывают с возникновением режима слабой локализации носителей заряда (например, $\alpha \approx 4/11$ [31]). Как будет показано ниже, подобная интерпретация, в отличие от объяснения в рамках модели кондо-решетки, оказывается наиболее предпочтительной при описании других характеристик

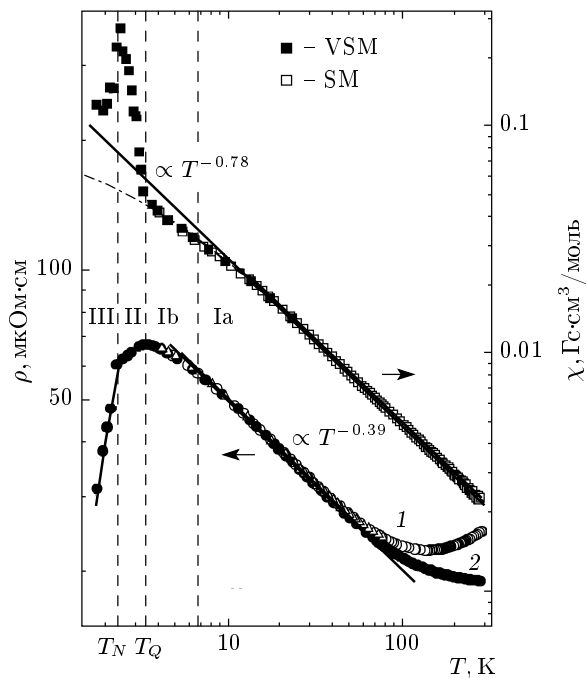


Рис. 1. Температурные зависимости магнитной восприимчивости $\chi(T)$ (VSM — данные, полученные на вибрационном магнитометре, SM — на СКВИД-магнитометре при $H \parallel \langle 111 \rangle$) и удельного сопротивления $\rho(T)$ (кривая 1, Δ — измерительный ток $I \parallel \langle 100 \rangle$, \circ — $I \parallel \langle 111 \rangle$), а также магнитный вклад $\rho_m(T) = \rho_{\text{CeB}_6}(T) - \rho_{\text{LaB}_6}(T)$ в сопротивление (кривая 2). Штрихпунктирной кривой показана зависимость $\chi \propto (T + \Theta_p)^{-\beta}$, где $\beta = 0.77 \pm 0.01$, $\Theta_p = 2.35 \pm 0.09$ К; I, II и III — соответственно парамагнитная (см. текст), АФК- и АФМ-фазы

зарядового транспорта в гексабориде церия при промежуточных температурах $7 \text{ K} \leq T \leq T^* \approx 80 \text{ K}$ (для термоэдс см. также работу [27]). Использование двойного логарифмического масштаба при анализе данных измерений магнитной восприимчивости $\chi(T)$ позволяет выявить степенную зависимость вида

$$\chi(T) \propto T^{-\beta} \quad (3)$$

с индексом $\beta \approx 0.78 \pm 0.02$, которая, в отличие от широко используемого для CeB_6 соотношения Кюри–Вейсса (1), является хорошим приближением для экспериментальной кривой $\chi(T)$ в интервале температур 15–1000 К. Наиболее наглядно последний вывод может быть проиллюстрирован сравнением на рис. 2а и 2б данных настоящей работы и результатов измерений [20], представленных соответственно в двойных логарифмических и кюри–вейссовских координатах. Незначительное расхождение в значениях индекса β представленных

на рис. 2а зависимостей находится в пределах абсолютной погрешности магнитных измерений. Аппроксимация экспериментальных данных зависимостью $\chi(T) \propto (\Theta_p + T)^{-\beta}$, учитывающей формирование в системе низкотемпературного магнитного порядка, дает немного меньшую величину показателя степени, $\beta = 0.77 \pm 0.01$, и температуру $\Theta_p = 2.35 \pm 0.09$ К, в пределах погрешности равную температуре АФМ-перехода. Как видно из рис. 1, такая зависимость хорошо описывает экспериментальные данные во всем температурном интервале вплоть до магнитного фазового перехода при T_Q . Отметим также, что использование для аппроксимации экспериментальной кривой $\chi(T)$ соотношения Кюри–Вейсса (1) (см. рис. 2б) представляется возможным лишь в ограниченной области температур 80–300 К и приводит к значениям $\mu_{\text{eff}} \approx 2.46 \mu_B$ и $\Theta_p^M \approx -57 \pm 2$ К, сравнимым с найденными в работах [20–22]. В рамках такого анализа экспериментальных данных представляется очевидным ограничение применимости кюри–вейссовской зависимости (1) для интерпретации магнитных свойств гексаборида церия. Очевидно также, что при формальном использовании соотношения (1) для описания зависимости $\chi(T)$ в CeB_6 разброс в значениях параметров μ_{eff} и Θ_p^M , полученных в работах [20–22] и в настоящей работе, оказывается преимущественно обусловленным погрешностью в определении абсолютной величины намагниченности в сочетании с различным выбором температурного интервала при аппроксимации зависимостью Кюри–Вейсса экспериментальных кривых $\chi(T)$. Таким образом, как видно из представления данных $\rho(T)$ и $\chi(T)$ на рис. 1 и рис. 2а, 2б, наиболее адекватным подходом к описанию кривых удельного сопротивления и магнитной восприимчивости CeB_6 при промежуточных температурах являются степенные зависимости (2) и (3) с индексами $\alpha = 0.39 \pm 0.01 \approx 0.4$ и $\beta \approx 0.78 \pm 0.02 \approx 0.8$.

2. Рассмотрим далее особенности низкотемпературного поведения магнитных характеристик гексаборида церия в широком диапазоне магнитных полей $H < 60$ кЭ. Температурные зависимости $\chi(T)$ и $\chi^{-1}(T)$, измеренные в слабом поле при $T < 25$ К, показаны соответственно на рис. 2в и 2г. Как видно из рис. 2г, в интервале 5–25 К кривая $\chi(T)$ может быть аппроксимирована кюри–вейссовской зависимостью (1) с параметрами $\mu_{\text{eff}} \approx 1.9 \mu_B$ и $\Theta_p^M \approx -8 \pm 0.5$ К, которые, однако, существенно отличаются от найденных авторами работы [21] в этой области температур. Очевидно, что столь заметный разброс параметров μ_{eff} и Θ_p^M , зависящих от тем-

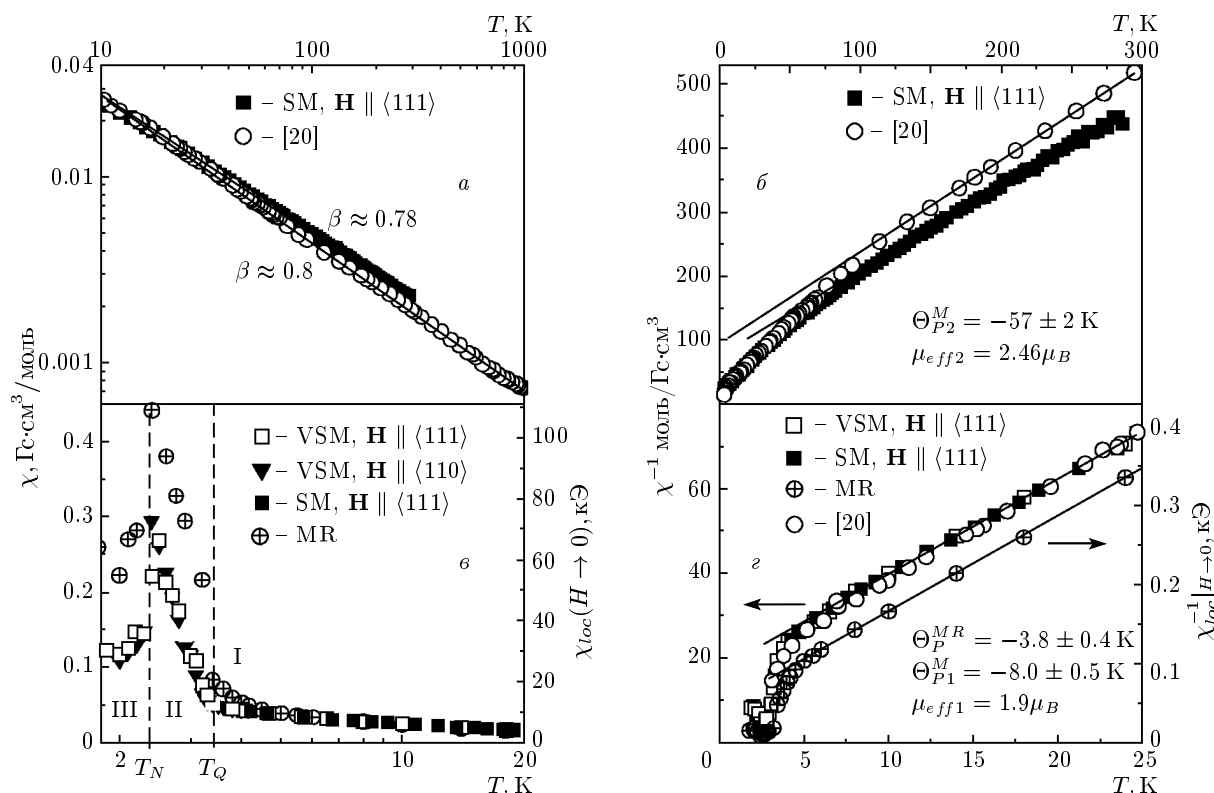


Рис. 2. Температурные зависимости магнитной восприимчивости χ в двойных логарифмических (а) и кюри-вейссовских (б) координатах. Низкотемпературные участки кривых $\chi(T)$, измеренные для различных ориентаций магнитного поля, представлены в полулогарифмических (в) и кюри-вейссовских (г) координатах; также показаны зависимости локальной восприимчивости $\chi_{loc}(T)$ (см. текст). Приведены значения параметров, полученные из аппроксимации оригинальных данных кюри-вейссовской зависимостью (1) при промежуточных (б) и низких (г) температурах. VSM — данные, полученные при измерениях на вибрационном магнитометре, SM — на СКВИД-магнитометре, MR — из измерений магнитосопротивления в ориентации I $\parallel \langle 111 \rangle$, $\mathbf{H} \parallel \langle 110 \rangle$

пературного интервала аппроксимации экспериментальных данных, является аргументом против применения кюри-вейссовской зависимости для описания экспериментальной кривой $\chi(T)$ в гексабориде церия. С понижением температуры вблизи перехода в АФК-фазу при $T \leq T_Q \approx 3.3$ К наблюдается значительный (в четыре-пять раз) рост магнитной восприимчивости, который при переходе в АФМ-фазу с $T_N \approx 2.3$ К сменяется резким уменьшением значений $\chi(T)$ с возникновением в окрестности T_N пика на кривой $\chi(T)$ (рис. 2в). Указанные особенности на зависимости $\chi(T)$ при T_N и T_Q могут быть сопоставлены магнитным фазовым переходам в CeB_6 и использованы далее при построении магнитной фазовой $H-T$ -диаграммы этого соединения. Следует отметить, что в пределах погрешности эксперимента найденные в работе значения T_N и T_Q совпадают с результатами работ [1–22].

Полевые зависимости намагниченности $M(H, T_0)$ монокристаллических образцов гексаборида церия, полученные при измерениях на вибрационном магнитометре (данные VSM на рис. 1, 2) для двух ориентаций внешнего магнитного поля вдоль кристаллографических направлений $\langle 110 \rangle$ и $\langle 111 \rangle$, представлены на рис. 3 и 4. В парамагнитной фазе при $T > T_Q(H)$ регистрируется близкая к линейной зависимость $M(H)$, тогда как с увеличением напряженности магнитного поля в непосредственной окрестности перехода из парамагнитной в АФК-фазу на кривых $M(H, T_0 > 3.4$ К) наблюдается излом, сопровождающийся существенно более быстрым ростом намагниченности в магнитоупорядоченном состоянии (на кривых $M(H)$ на рис. 3, 4 стрелками отмечены особенности, связанные с магнитными фазовыми переходами в CeB_6). С дальнейшим увеличением напряженности

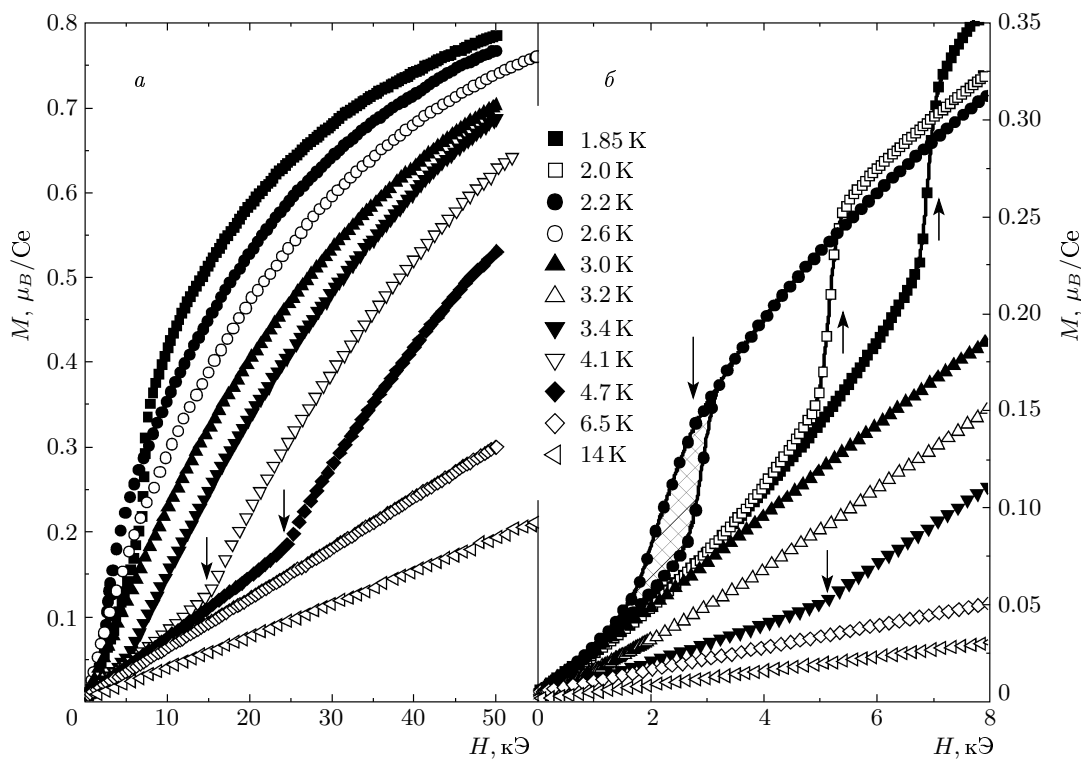


Рис. 3. Полевые зависимости намагниченности, измеренные при различных значениях температуры T_0 для кристаллографического направления $\mathbf{H} \parallel \langle 111 \rangle$

внешнего магнитного поля на зависимостях $M(H)$ появляется тенденция к насыщению, однако при используемых в работе полях $H < 60$ кЭ насыщение намагниченности не достигается. При температурах $T < T_N$ на кривых $M(H)$ наблюдается дополнительная аномалия в виде «ступеньки» (рис. 3б, 4б), отвечающая переходу в магнитном поле из АФМ-фазы в АФК-фазу. Отметим, что возникновение указанной особенности сопровождается значительным гистерезисом намагниченности. В качестве примера на рис. 3б и 4б для температур соответственно $T_0 = 2.2$ К и $T_0 = 2.3$ К приведены кривые, отвечающие возрастанию и убыванию поля (область гистерезиса заштрихована).

Следует отметить также, что как по форме кривых намагничивания, так и по абсолютной величине эффекта представленные на рис. 3, 4 данные в целом находятся в хорошем согласии с полученными ранее результатами [6, 9, 20–22]. В то же время, достигнутая в настоящей работе высокая точность стабилизации температуры позволяет выполнить численное дифференцирование и перейти далее к анализу поведения температурных и полевых зависимостей дифференциальной магнитной восприимчи-

вости $\chi(T, H) = dM/dH$. Примеры таких зависимостей $\chi(T, H)$ представлены на рис. 5, 6. Как видно из представленных на этих рисунках данных, при переходах с ростом напряженности внешнего магнитного поля в АФК-фазу как из парамагнитного состояния ($T = T_0 > T_Q \approx 3.3$ К, рис. 5), так и из АФМ-фазы ($T = T_0 < T_N \approx 2.3$ К, рис. 6) на кривых $\chi(H, T_0)$ наблюдаются аномалии заметной амплитуды, позволяющие установить целый ряд особенностей магнитной фазовой H - T -диаграммы геккаборида церия.

В парамагнитной фазе намагниченность изотропна, при $T > T_Q$ абсолютная величина $M(H, T)$ и отвечающие магнитным фазовым переходам характерные особенности кривых $\chi(T, H)$ практически не различаются при сравнении результатов измерений вдоль кристаллографических направлений $\langle 110 \rangle$ и $\langle 111 \rangle$ в ОЦК-структуре CeB_6 . В качестве примера поведения магнитной восприимчивости в этой области температур на рис. 5 представлено семейство кривых $\chi(H, T_0) = dM/dH$, полученное в работе для направления $\mathbf{H} \parallel \langle 111 \rangle$ для значений T_0 в интервале $T_Q \leq T_0 \leq 24$ К.

Напротив, в АФК- и АФМ-фазах ($T < T_Q$)

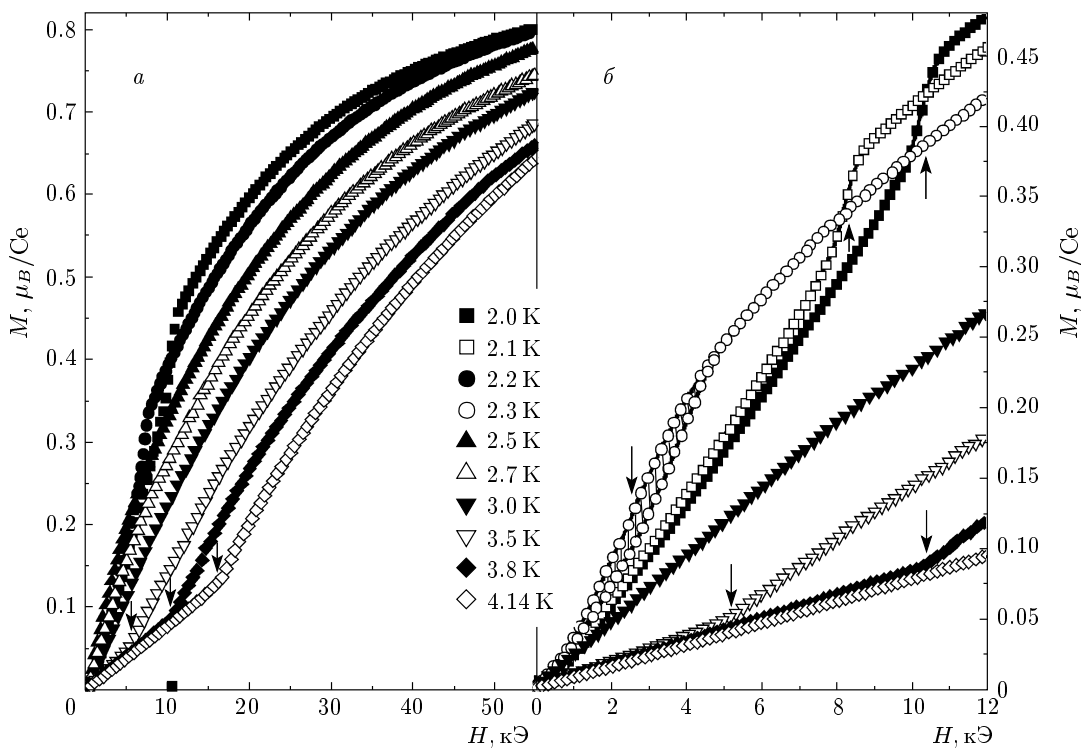


Рис. 4. Полевые зависимости намагниченности, измеренные при различных значениях температуры T_0 для кристаллографического направления $\mathbf{H} \parallel \langle 110 \rangle$

наблюдается заметная анизотропия магнитных характеристик. Для примера на рис. 6 показаны полевые зависимости $\chi(H, T_0)$ для направлений $\mathbf{H} \parallel \langle 111 \rangle$ и $\mathbf{H} \parallel \langle 110 \rangle$, а на вставке к рис. 7 — угловые зависимости магнитного момента, полученные при вращении вектора напряженности магнитного поля \mathbf{H} в плоскости [001]. Амплитуда анизотропного вклада в намагниченность в АФМ-фазе, $\Delta M(\varphi) \approx (0.07 \pm 0.01)\mu_B$ (см. рис. 7), сохраняется практически неизменной в магнитных полях $H \leq 12$ кЭ, причем значение ΔM находится в соответствии с найденным в работах [5, 8] из ЯМР-исследований параметром $\Delta M \approx (0.08 \pm 0.05)\mu_B$, определяющим амплитуду модуляции магнитной структуры в АФМ-фазе CeB_6 . Отметим также, что при $T < T_Q$ регистрируются как заметные различия амплитуд особенностей на зависимостях $\chi(H, T_0)$ в окрестности магнитных фазовых переходов (см., например, рис. 6 α и 6 β), так и дополнительные особенности на кривых $\chi(H, T_0 < 2.3 \text{ K})$ в магнитных полях $H \approx 1\text{--}5$ кЭ (рис. 6 γ). Кроме того, сопоставление кривых $\chi(H, T_0 \approx 2\text{--}2.2 \text{ K})$ для направлений $\langle 111 \rangle$ и $\langle 110 \rangle$ (рис. 6 α и 6 β) свидетельствует об анизотропии

фазовой границы на H - T -диаграмме, разделяющей АФМ- и АФК-фазы в CeB_6 . На рис. 7 представлена магнитная фазовая H - T -диаграмма гексаборида церия, построенная на основе данных рис. 1–6. Кроме хорошо известных из литературы [1–22] фазовых границ при $T_Q(H)$ и $T_N(H)$, на рис. 7 показана также кривая $H_p(T)$ в АФК-фазе CeB_6 , отвечающая положению максимума полевых зависимостей восприимчивости $\chi(H)$ (см. рис. 6 α и 6 β) или, соответственно, точке перегиба на кривых $M(H)$ (см. рис. 3, 4).

Следует подчеркнуть, что подобное поведение дифференциальной восприимчивости хорошо известно для состояния с ВСП в металле в присутствии локализованных магнитных моментов, взаимодействующих с полем ВСП (для сплавов Cr:Fe см., например, работы [33–34]). При этом аналогично результату, полученному нами для CeB_6 (см. рис. 7), для Cr:Fe величина $H_p(T)$ заметно возрастает при приближении к температуре магнитного перехода [33, 34]. По мнению авторов работы [34], причина возникновения подобной зависимости $\chi(H)$ с максимумом при $H_p(T)$ обусловлена различной эффективностью взаимодействия ВСП с

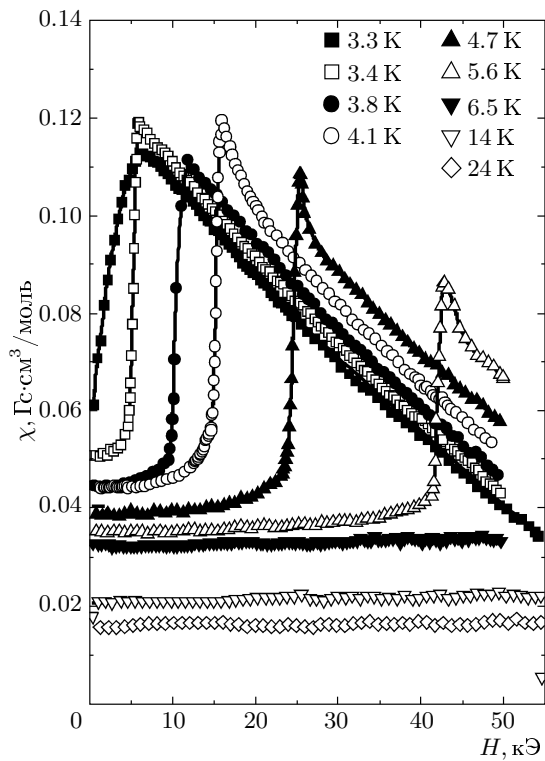


Рис. 5. Полевые зависимости магнитной восприимчивости, полученные для значений температуры в интервале 3.3–24 К для кристаллографического направления $\mathbf{H} \parallel \langle 111 \rangle$

локализованными магнитными моментами, располагающимися в матрице зонного антиферромагнетика. В такой ситуации возрастание амплитуды ВСП оказывается связанным с ростом магнитного поля, в результате чего меняется доля локализованных магнитных моментов, ориентированных вследствие взаимодействия с ВСП.

3. Переходя к описанию результатов измерений магнитосопротивления CeB_6 , отметим, что для удобства сопоставления магнитных и транспортных характеристик магниторезистивный эффект также исследовался в интервале температур 1.8–24 К в магнитных полях до 70 кЭ. На рис. 8 представлено семейство кривых поперечного магнитосопротивления $\Delta\rho/\rho = f(H, T_0)$, полученное при измерениях в магнитном поле $\mathbf{H} \parallel \langle 110 \rangle$ для направления тока $\mathbf{I} \parallel \langle 111 \rangle$. Результаты рис. 8 в целом согласуются с данными работ [2, 35]. Достигнутая в настоящей работе высокая точность измерений поперечного магнитосопротивления и стабилизации температуры позволила выполнить численное дифференцирование кривых $\Delta\rho/\rho = f(H, T_0)$ и, далее, в рамках

подхода, развитого Иосидой [26], оценить для гексаборида церия характер изменения локальной намагниченности M_{loc} и магнитной восприимчивости

$$\chi_{loc}(H, T_0) \equiv \sqrt{-\frac{1}{H} \frac{d(\Delta\rho/\rho)}{dH}}.$$

Ранее было показано [24, 25], что в интерметаллидах на основе церия соотношение [26]

$$-\Delta\rho/\rho \propto M_{loc}^2 \propto \chi_{loc}^2 H^2 \quad (4)$$

применимо для описания магнитосопротивления как классических систем CeAl_3 , CeCu_6 с тяжелыми фермионами и соединения $\text{CeCu}_{5.9}\text{Au}_{0.1}$ с квантовым критическим поведением, так и магнитных систем CeAl_2 , $\text{CeCu}_{5.8}\text{Au}_{0.2}$ и др. с сильными электронными корреляциями. В то же время, в соответствии с результатом работ [24, 25], локальная намагниченность M_{loc} , оцененная из соотношения (4), в случае соединений с тяжелыми фермионами на основе церия определяется не локализованными магнитными моментами $^2F_{5/2}$ -состояния церия, а магнитным откликом спин-поляронных состояний, формирующихся в зоне проводимости в режиме быстрых спиновых $4f$ - $5d$ -флуктуаций на Се-центрах. При этом было установлено [24, 25], что характерный пространственный размер области магнитного рассеяния, связанный с радиусом локализации $a_{sp} \approx 6\text{--}16 \text{ \AA}$ [24, 25, 30] спинового полярона, оказывается сопоставимым с постоянной решетки кристаллической структуры цериевых соединений, $a \approx 5\text{--}10 \text{ \AA}$. Полученные в работе результаты анализа экспериментальных данных рис. 8 в рамках соотношения (4) представлены на рис. 9. Выше на рис. 2 α и 2 β показаны температурные зависимости $\chi_{loc}(T)$ в пределе малых магнитных полей (MR-данные на рис. 2). Результаты, полученные при исследовании магнитосопротивления, будут обсуждаться в разд. 4 вместе с данными измерений магнитных характеристик и коэффициента Холла.

4. Остановимся далее на результатах прецизионных измерений холловского сопротивления в гексабориде церия, выполненных в работе для трех характерных направлений электрического тока через образец: $\mathbf{I} \parallel \langle 100 \rangle$, $\mathbf{I} \parallel \langle 110 \rangle$ и $\mathbf{I} \parallel \langle 111 \rangle$, сонаправленных с осью вращения образца в магнитном поле (см. вставку на рис. 10 a). На рис. 10 для примера представлено семейство угловых зависимостей холловского сопротивления, полученных при вращении образца в магнитном поле $H_0 \approx 3.8 \text{ кЭ}$. Как видно из рис. 10 a , в области температур, отвечающей парамагнитной фазе CeB_6 (см. рис. 7), наблюдаются синусоидальные угловые зависимости холловско-

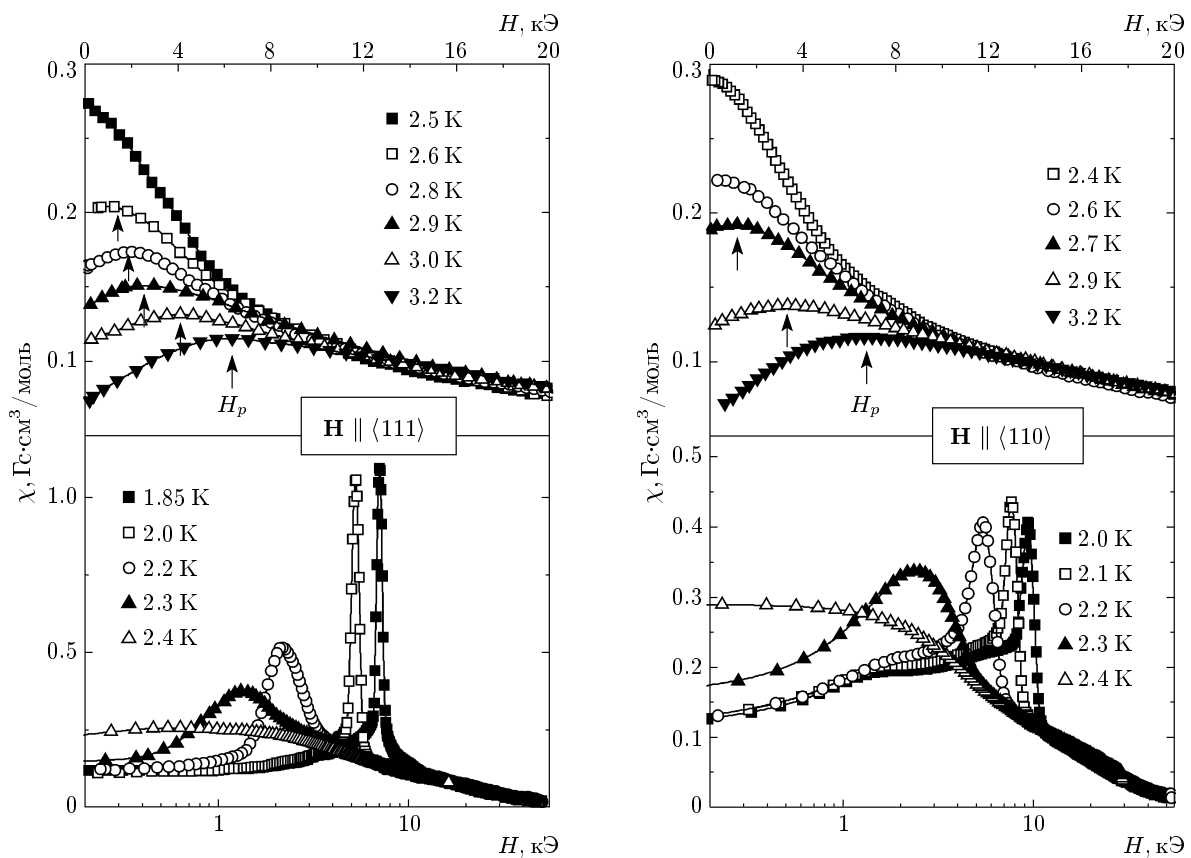


Рис. 6. Полевые зависимости магнитной восприимчивости, полученные для значений температуры в интервале 1.85–3.2 К для кристаллографических направлений $\mathbf{H} \parallel \langle 111 \rangle$ и $\mathbf{H} \parallel \langle 110 \rangle$. Стрелки указывают на максимумы при $H = H_p$ на зависимости $\chi(H)$

го сопротивления вида $\rho_H(\varphi) = \rho_{H0} + \rho_{H1} \cos \varphi$. Такое поведение $\rho_H(\varphi)$ в эксперименте при изменении угла между вектором нормали \mathbf{n} к плоскости образца и магнитным полем \mathbf{H} является следствием изменения нормальной составляющей вектора \mathbf{H} , в свою очередь обусловливающей изменение холловского сигнала по гармоническому закону. При переходе в АФК-фазу ($T < T_Q$) на кривых $\rho_H(\varphi)$ становится заметным вклад в холловский сигнал от четных гармоник (см. на рис. 10б кривые для $T = 2.6$ К и $T = 2.4$ К). В результате зависимости $\rho_H(\varphi)$ описываются соотношением вида

$$\rho_H(\varphi) = \rho_{H0} + \rho_{H1} \cos \varphi + \rho_{H2} \cos(2\varphi - \varphi_0). \quad (5)$$

Отметим, что соотношение (5) успешно применялось ранее для разделения вкладов в эффект Холла в АФМ-фазе соединения CeAl_2 с тяжелыми фермионами [30]. Следует подчеркнуть также, что используемая в работе поперечная конфигурация холловского эксперимента (ось вращения образца параллельна вектору \mathbf{I} и перпендикулярна вектору \mathbf{H} , см.

вставку на рис. 10а) минимизирует вклад поперечного магнитосопротивления в холловский сигнал [30]. Наряду с этим для независимой оценки сверху магниторезистивной составляющей в амплитуде сигнала четной гармоники $\rho_{H2}(\varphi)$ в эффекте Холла в работе одновременно регистрировались угловые зависимости холловского сопротивления и магнитосопротивления и был выполнен анализ амплитуды магниторезистивного вклада в $\rho_{H2} \cos \varphi$, возникающего вследствие возможной «неэквипотенциальности» в расположении холловских контактов к образцу. Выполненные исследования позволяют сделать вывод об отсутствии сколько-нибудь заметного влияния магниторезистивной составляющей на холловский сигнал в магнитных полях вплоть до 70 кЭ, значительно превосходящих поля $H_0 \approx 3\text{--}5$ кЭ, используемые при измерениях эффекта Холла в настоящей работе.

Отметим далее, что наиболее значительные изменения характера угловых зависимостей холловского сопротивления $\rho_H(\varphi)$ наблюдаются при переходе в

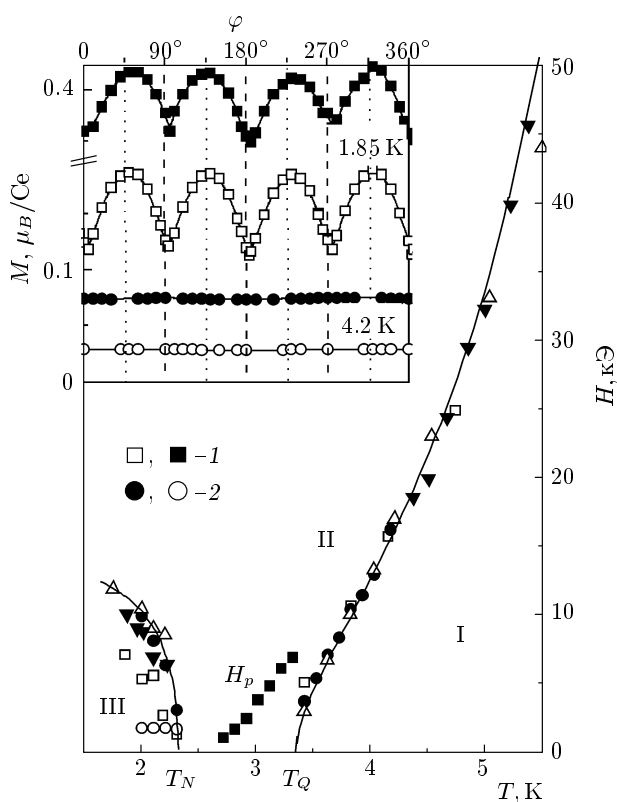


Рис. 7. Магнитная фазовая диаграмма гексаборида церия, построенная по результатам измерений намагниченности (1 и 2 — VSM-данные соответственно для $\mathbf{H} \parallel \langle 111 \rangle$ и $\mathbf{H} \parallel \langle 110 \rangle$, \blacktriangledown — данные работы [32] для $\mathbf{H} \parallel \langle 110 \rangle$) и магнитосопротивления (\triangle — $\mathbf{H} \parallel \langle 110 \rangle$, $\mathbf{I} \parallel \langle 111 \rangle$). На вставке приведены угловые зависимости намагниченности $M(\varphi)$ для $T_0 = 1.85$ К (\square — $H = 3.7$ кЭ; \blacksquare — $H = 9.4$ кЭ) и $T_0 = 4.2$ К (\circ — $H = 3.7$ кЭ; \bullet — $H = 9.4$ кЭ). Штриховые и пунктирные линии соответствуют кристаллографическим направлениям $\langle 110 \rangle$ и $\langle 100 \rangle$

АФМ-фазу ($T < T_N \approx 2.3$ К на рис. 10б). При этом на кривых $\rho_H(\varphi)$ появляются протяженные участки $\rho_H(\varphi) = \text{const}$ с резкими (шириной менее 5°) переходами между ними, отвечающими ориентации магнитного поля \mathbf{H} вдоль диагоналей граней в кристаллической ОЦК-структуре CeB_6 . Подобные зависимости $\rho_H(\varphi)$ в форме меандра наблюдались ранее при исследованиях моносилицида железа в низкотемпературной миктомагнитной фазе, отвечающей взаимодействующим ферромагнитным областям наноразмера, расположенным в парамагнитной матрице FeSi [36]. Подчеркнем также взаимосвязь особенностей на кривых холловского сопротивления $\rho_H(\varphi)$, отвечающих процессам перемагничивания аномаль-

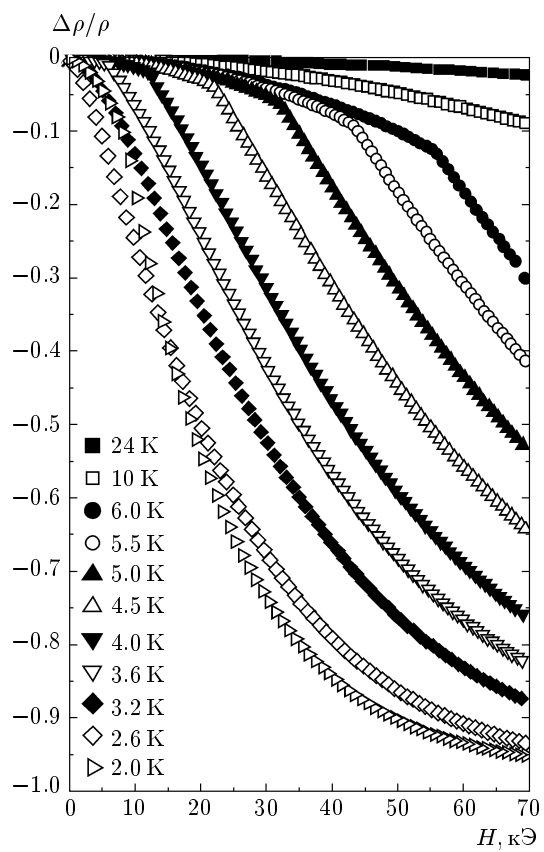


Рис. 8. Полевые зависимости магнитосопротивления $\Delta\rho/\rho$, измеренные при различных значениях температуры для кристаллографической ориентации $\mathbf{H} \parallel \langle 110 \rangle$, $\mathbf{I} \parallel \langle 111 \rangle$

ной компоненты в матрице CeB_6 (рис. 10б, кривая для $T = 2$ К), и появления в АФМ-фазе заметного анизотропного вклада в намагниченность $\Delta M(\varphi)$ (рис. 7, кривые для $T \leq 2$ К). Анализ угловых зависимостей холловского сопротивления в рамках соотношения (5) в интервале температур 2.2–300 К позволяет разделить вклады основной (ρ_{H1}) и четной (ρ_{H2}) составляющих в эффекте Холла и определить вид кривой $R_H(T) = \rho_H(T)/H$. На рис. 11, наряду с зависимостью $R_H(T)$, представлена также кривая $\mu_H(T) = R_H(T)/\rho(T)$, отвечающая холловской подвижности в приближении одной группы носителей заряда. В диапазоне 5–300 К коэффициент Холла R_H отрицателен и практически не зависит от температуры (рис. 11). Такое поведение с хорошей точностью совпадает с результатами работ [37, 38], где отмечалось постоянное отрицательное ($R_H = -(4.5 \pm 0.7) \cdot 10^{-4} \text{ см}^3/\text{Кл}$ [38]) значение коэффициента Холла в гексабориде церия, которое в пределах точности эксперимента соответ-

ствует величине $R_H(\text{LaB}_6) = -4.5 \cdot 10^{-4} \text{ см}^3/\text{Кл}$, найденной [39] для немагнитного аналога — соединения LaB_6 . Вслед за авторами работ [37, 38] подчеркнем, что полученное для CeB_6 отрицательное и постоянное в диапазоне 5–300 К значение $R_H(T)$ (рис. 11) не находит объяснения в рамках моделей кондо-решетки и асимметричного рассеяния носителей заряда [40, 41]. Действительно, согласно предсказаниям работ [40, 41], в кондо-решетке следует ожидать возникновения максимума коэффициента Холла положительной полярности вблизи температуры Кондо $T_K(\text{CeB}_6) = 1\text{--}2 \text{ К}$ [37], амплитуда которого должна значительно превосходить значение $R_H(T)$ в немагнитном аналоге — соединении LaB_6 . Более того, совпадение значений постоянной Холла для гексаборидов церия (магнитная $4f^1$ -конфигурация) и лантана ($4f^0$), по-видимому, свидетельствует об определяющей роли зонных состояний в условиях сильного электрон-электронного взаимодействия, приводящего к возникновению режима слабой локализации в CeB_6 при неизменной концентрации носителей заряда.

С понижением температуры в интервале $T < 7 \text{ К}$ коэффициент Холла $R_H(T)$ резко возрастает, достигая максимальных значений вблизи $T \approx 3 \text{ К}$ (рис. 11). Возникновение на угловых зависимостях $\rho_H(\varphi)$ вклада четных гармоник и, далее, переход к зависимости типа меандра в АФМ-фазе CeB_6 (см. рис. 10б) сопровождаются заметным уменьшением абсолютных значений коэффициента Холла $R_H(T)$ (см. рис. 11). В заключение настоящего раздела отметим также существенное отличие поведения холловской подвижности в гексабориде церия (см. рис. 11) от типичного вида кривых $\mu_H(T)$ для систем с тяжелыми фермионами на основе церия. Так, согласно результатам, полученным для классических соединений с тяжелыми фермионами CeAl_3 [42], CeCu_6 [43], CeAl_2 [30] и др., подвижность заметно растет с понижением температуры, следуя, согласно предсказаниям работ [40, 41], кюри-вейссовской зависимости $\mu_H(T) \propto \chi(T) \propto (T + \Theta_p^M)^{-1}$. Напротив, для CeB_6 в интервале температур от азотной до гелиевой наблюдается заметное (примерно в три раза) уменьшение подвижности при практически не меняющейся концентрации ($R_H(T) \approx \text{const}$) носителей заряда (см. рис. 11).

4. ОБСУЖДЕНИЕ РЕЗУЛЬТАТОВ

Отметим прежде всего, что совокупность результатов измерений транспортных и магнитных характеристик гексаборида церия (рис. 1–11) вместе

с данными исследований коэффициента термоэдс [27] не находит объяснения в рамках модели кондо-решетки.

1) Поведение магнитного вклада в удельное сопротивление в интервале 7–80 К подчиняется степенной зависимости (2) (область Ia на рис. 1), отвечающей режиму слабой локализации носителей заряда в условиях сильного электрон-электронного взаимодействия носителей, имеющих в CeB_6 преимущественно $5d$ -характер [13–23].

2) Отрицательное значение постоянной Холла R_H ($7 \text{ К} \leq T \leq 300 \text{ К}$) $\approx \text{const} < 0$, а также возникновение особенности на зависимости $R_H(T)$ отрицательной полярности при гелиевых температурах (см. рис. 11), как отмечалось выше, свидетельствуют против описания особенностей формирования основного состояния в терминах кондо-компенсации локализованных магнитных моментов ионов церия в этом соединении.

3) Найденная в работе степенная асимптотика (3) магнитной восприимчивости $\chi(T)$ в интервале 15–1000 К (см. рис. 2а), очевидно, также не укладывается в рамки традиционно используемого общепринятого кюри-вейссовского описания. Действительно, в модели кондо-решетки при высоких температурах $T > T_K(\text{CeB}_6) \approx 1\text{--}2 \text{ К}$, отвечающих для CeB_6 всему используемому в работе интервалу 2–300 К, намагниченность определяется слабо взаимодействующими локализованными магнитными моментами, величина которых оказывается обусловленной исключительно структурой ${}^2F_{5/2}$ -состояния Ce^{3+} , расщепленного кристаллическим полем кубической (ОЦК) симметрии.

4) Выполненный в работе [27] анализ экспериментальных данных измерений коэффициента термоэдс $S(T)$ также приводит к выводу о неприменимости модели кондо-решетки к описанию его температурного поведения в гексабориде церия.

Сопоставление результатов, приведенных на рис. 2в и 2г, а также полевых зависимостей магнитных восприимчивостей $\chi(H, T_0)$ и $\chi_{loc}(H, T_0)$, представленных на рис. 5, 6 и 9, на наш взгляд, позволяет сделать заключение в пользу применимости подхода, аналогичного модели Иосиды [26], для описания поведения магнитосопротивления в гексабориде церия вместо традиционно используемой модели кондо-решетки (см., например, [44, 45]). При этом в соответствии с выводами работ [24, 25, 30] необходимо принять во внимание, что эффективное магнитное рассеяние с переворотом спина носителей заряда происходит не на локализованных магнитных моментах $4f$ -оболочки ионов Ce^{3+} ,

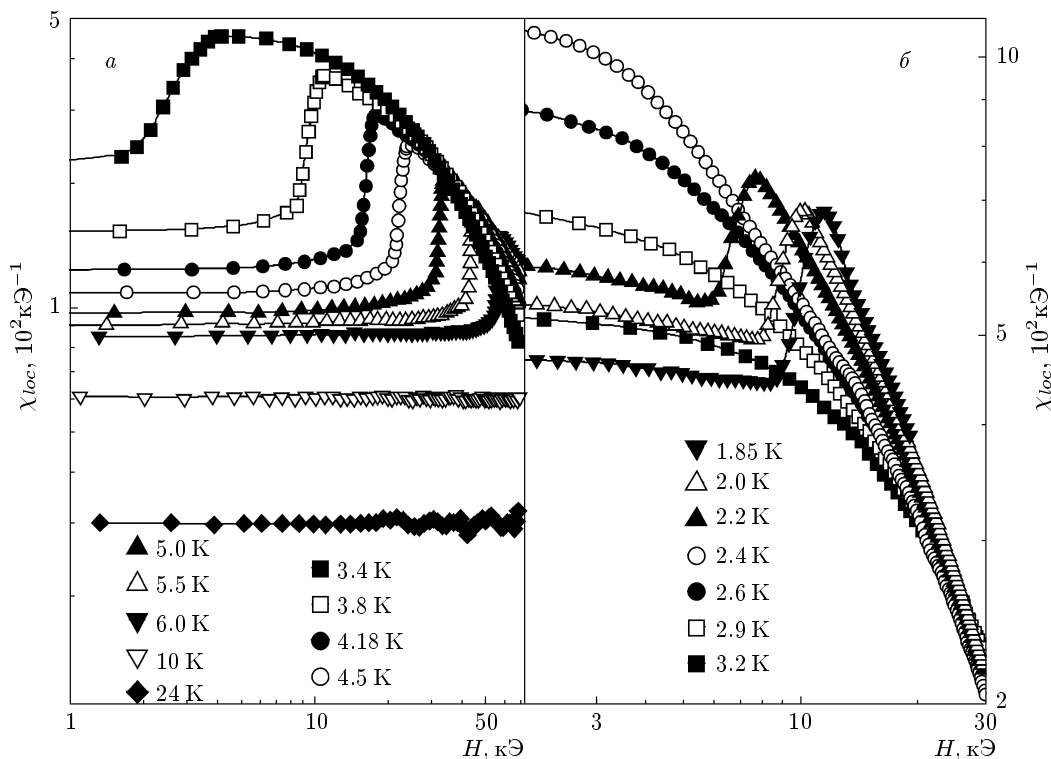


Рис. 9. Полевые зависимости локальной восприимчивости $\chi_{loc}(H)$ (см. текст) в двойных логарифмических координатах. Измерения выполнены для различных значений температуры $T_0 > T_Q$ (а) и $T_0 < T_Q$ (б) для кристаллографической ориентации $\mathbf{H} \parallel \langle 110 \rangle$, $\mathbf{I} \parallel \langle 111 \rangle$

а на спин-поляронных состояниях наноразмера ($6\text{--}16\text{ \AA}$), формирующихся в матрице цериевых соединений с сильными электронными корреляциями в окрестности Ce-центров. Отметим, что в целом подобный характер изменения параметров χ и χ_{loc} с температурой (см. рис. 2 α и 2 β) наблюдается как в парамагнитной, так и в магнитоупорядоченных фазах CeB₆. В то же время рассеяние носителей заряда на межфазовых границах и неоднородностях в окрестностях температур T_N и T_Q приводит к заметному уширению особенностей на кривой $\chi_{loc}(T)$, связанных с магнитными фазовыми переходами в этом соединении. По тем же причинам значительно уширенными по сравнению с аномалиями объемной магнитной восприимчивости (см. рис. 5, 6) оказываются также особенности на кривых $\chi_{loc}(H)$ (см. рис. 9) в окрестностях T_N и T_Q . Как отмечалось ранее, аппроксимация температурной зависимости восприимчивости при $T < 30$ К соотношением (1) является в достаточной мере условной. При этом формальное применение кюри-вейссовской зависимости (1) для анализа локальной восприимчивости $\chi_{loc}(T)$, полученной из измерений магнитосопротивления, приводит

к существенно меньшим значениям парамагнитной температуры Кюри $\Theta_p^{MR} \approx -3.8 \pm 0.4$ К по сравнению с $\Theta_p^M \approx -8 \pm 0.5$ К, найденным из объемных магнитных измерений при $T < 30$ К (см. рис. 2 ε). По всей видимости, столь значительное уменьшение по абсолютной величине параметра Θ_p , отвечающего приближению молекулярного поля, в рамках такого подхода можно было бы связать с существованием в широкой окрестности вблизи локализованных магнитных моментов церия областей неоднородной магнитной поляризации наноразмера, на которых происходит рассеяние зонных носителей заряда в металлической матрице CeB₆. Следует отметить также, что, согласно результатам исследований [19, 46], зона проводимости в CeB₆ сформирована преимущественно 5d-состояниями церия, в небольшой степени гибридизованными с 2p-орбиталами бора. В результате можно предположить, что отмеченная выше неоднородная спиновая поляризация зонных носителей заряда в 5d-полосе, обусловленная быстрыми спиновыми флуктуациями вследствие межконфигурационных 4f–5d-переходов, по-видимому, носит локальный характер и формируется в каждой элементарной

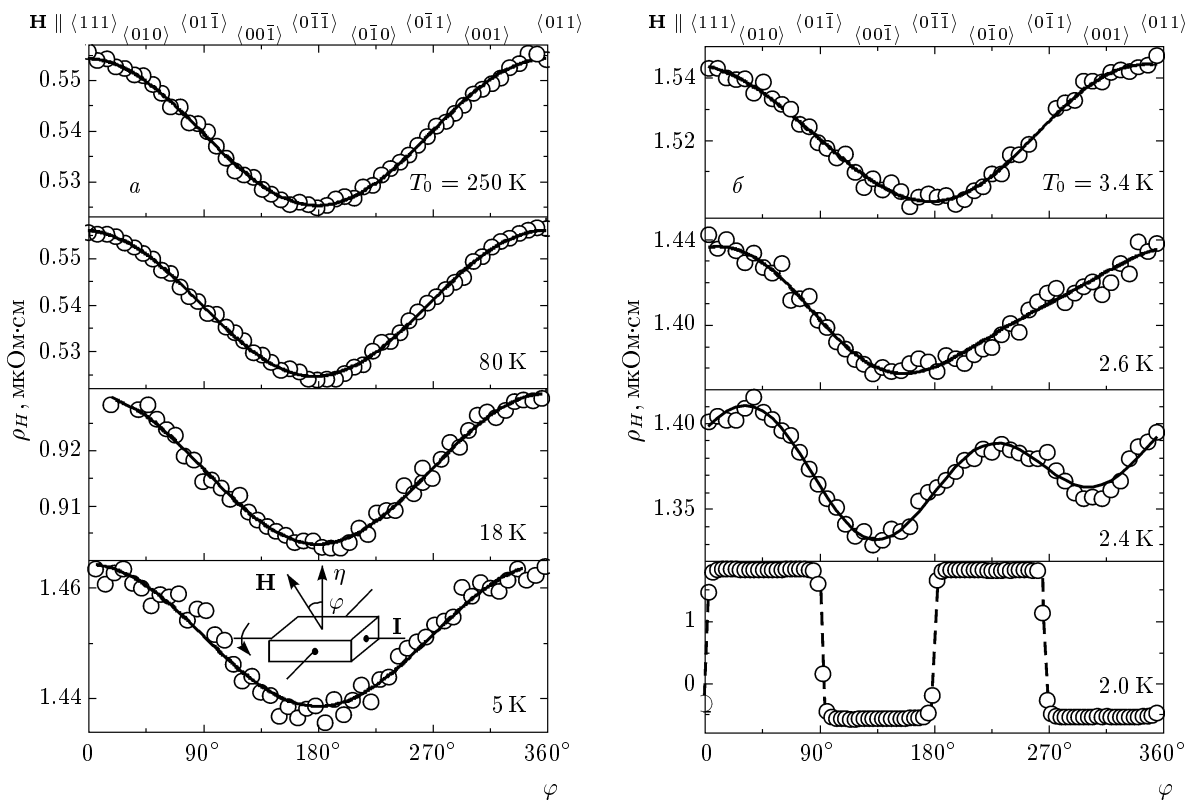


Рис. 10. Угловые зависимости холловского сопротивления ρ_H , измеренные при различных значениях температуры $T_0 = 3.5\text{--}300\text{ K}$ (а) и $T_0 = 2.0\text{--}3.4\text{ K}$ (б) для кристаллографического направления $\mathbf{I} \parallel \langle 100 \rangle$ в поле $H_0 = 3.8\text{ кэ}$

ячейке в окрестности Ce-центров.

Переходя к анализу полевых зависимостей намагченности при низких температурах, подчеркнем еще раз внешние различия в поведении магнитных характеристик в парамагнитной фазе, отмеченные в работе для температурных диапазонов $T > 15\text{ K}$ и $5\text{ K} \leq T \leq 25\text{ K}$. При $T > 15\text{ K}$ для CeB₆ вместо кюри-вейссовской зависимости (1) найдена степенная зависимость магнитной восприимчивости вида $\chi \propto T^{-0.8}$ (рис. 2а). В интервале 5–25 К экспериментальные кривые $\chi(T)$ и $\chi_{loc}(T)$ в CeB₆ формально могут быть аппроксимированы кюри-вейссовской зависимостью (1) (см. рис. 2г). В то же время использование при описании данных $M(H, T_0 \leq 25\text{ K})$ (см. рис. 3, 4) функции Бриллюэна

$$M(H, T_0) = Ng\mu_B m_J^z B_J(x) = Ng\mu_B m_J^z \times \\ \times \left[\frac{2J+1}{2J} \operatorname{cth} \left(\frac{2J+1}{2J}x \right) - \frac{1}{2J} \operatorname{ctg} \frac{x}{2J} \right], \quad (6)$$

где g — g -фактор, J и m_J^z — квантовые числа,

$B_J(x)$ — функция Бриллюэна,

$$x = \frac{g\mu_B JH}{k_B(T + \Theta_p^{M,MR})},$$

не позволяет ни при каких значениях g и J аппроксимировать экспериментальные кривые намагченности в парамагнитной фазе. Указанное обстоятельство, очевидно, является наименее веским аргументом против использования кюри-вейссовской зависимости (1) при анализе поведения магнитной восприимчивости CeB₆. Для примера семейства кривых $M(H/(T + \Theta_p^M))$ и $M_{loc}(H/(T + \Theta_p^{M,MR}))$ в парамагнитной и магнитоупорядоченных фазах представлены на рис. 12. Парамагнитной фазе отвечает линейная вплоть до максимально достижимых значений аргумента $H/(T + \Theta_p^{M,MR})$ зависимость магнитного момента (рис. 12), которую с учетом приведенных выше экспериментальных результатов, по-видимому, следует сопоставить парамагнитному отклику (паулиевская парамагнитная восприимчивость) перенормированных 5d-зонных состояний в CeB₆. Для сравнения на рис. 12а вместе с экспериментальными данными представлены также бриллюэновские зависи-

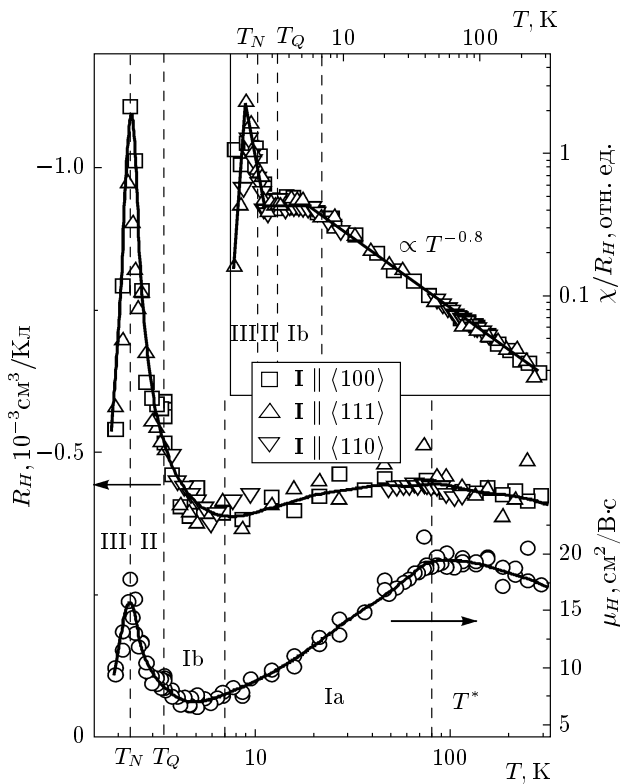


Рис. 11. Температурные зависимости коэффициента Холла R_H и холловской подвижности μ_H . На вставке представлена температурная зависимость отношения χ/R_H

мости вида $M = f(H/(T + \Theta_p^M))$, полученные для $g = 1.62$ [32], $J = 1/2$ и $\mu_{eff} = 1\mu_B$ [9, 47], $J = 5/2$. Выполненное на рис. 12 сопоставление бриллюэновских кривых с результатами экспериментов позволяет сделать вывод о том, что, как и в случае промежуточных температур (область $T > 15$ К), в интервале 5–25 К магнитные свойства CeB₆ не могут быть корректно описаны в терминах системы слабовзаимодействующих локализованных магнитных моментов ²F_{5/2}-состояния церия.

Подчеркнем еще раз, что весьма важным, с нашей точки зрения, аргументом против формирования магнитной структуры локализованных магнитных моментов и в пользу зонной природы магнетизма в гексабориде церия является значение эффективного магнитного момента $\mu_{eff} \approx 1.0\mu_B$, найденное в экспериментах по рассеянию нейтронов [9, 47] в парамагнитной фазе CeB₆. Авторы работ [9, 47] подчеркивают очевидное противоречие между величиной $\mu_{eff} \approx 2.32\mu_B$, полученной с использованием соотношения (1) из статических магнитных измерений, и найденным из измерений динамической

восприимчивости значением $\mu_{eff} \approx 1.0\mu_B$, сохраняющимся неизменным в широком интервале 5–220 К и отвечающим магнитному моменту зонных электронов.

Как уже отмечалось ранее, переход в АФК-фазу в CeB₆ сопровождается ростом магнитной восприимчивости (см. рис. 2б и рис. 5) и намагниченности (см. рис. 3, 4), однако и в этом случае совокупность экспериментальных результатов, представленных на рис. 1–7, не получает адекватного описания в рамках соотношения (6) с фиксированным значением аргумента x (см. формулу (6) и рис. 12). Отметим, кроме того, что в предположении присутствия нескольких аддитивных составляющих в намагниченности для достижения согласия с экспериментальными данными требуется предположить также существование меняющегося с температурой множителя при B_J для магнитного вклада в $M(H, T)$ в гексабориде церия.

Основываясь на приведенных выше аргументах в пользу зонной природы парамагнитного отклика (парамагнетизм Паули) в CeB₆, выполним далее оценки параметров носителей заряда в 5d-полосе и проведем сопоставление транспортных и магнитных характеристик гексаборида церия. Для оценок воспользуемся также результатами исследований рассеяния нейтронов в CeB₆ [9, 47], в частности найденной в работах [9, 47] температурной зависимостью полуширины $\Gamma(T)/2$ квазиупругого пика в спектрах магнитного рассеяния нейтронов. Использование простых соотношений для эффективного времени релаксации $\tau_{eff}(T)$,

$$\Gamma(T)/2 = \hbar/\tau_{eff}(T), \quad (7)$$

и эффективной массы $m^*(T)$ носителей

$$m^*(T) = e\tau_{eff}(T)/\mu_H(T), \quad (8)$$

позволяет на основании данных для $\mu_H(T)$ (см. рис. 11) оценить характер изменения $m^*(T)$ в режиме слабой локализации носителей заряда ($7 \text{ K} \leq T \leq 80 \text{ K}$). Полученная в результате зависимость $m^*(T)$ представлена на рис. 13, где показано изменение с температурой магнитной восприимчивости χ , коэффициента термоэдс S (по данным работы [27]) и аддитивного параметра $S\sigma$ ($\sigma = 1/\rho$ — проводимость) в парамагнитной и магнитоупорядоченных фазах CeB₆.

Анализируя совместно поведение параметров $m^*(T)$ и $\chi(T)$ (рис. 13), прежде всего отметим практически одинаковый характер изменения с

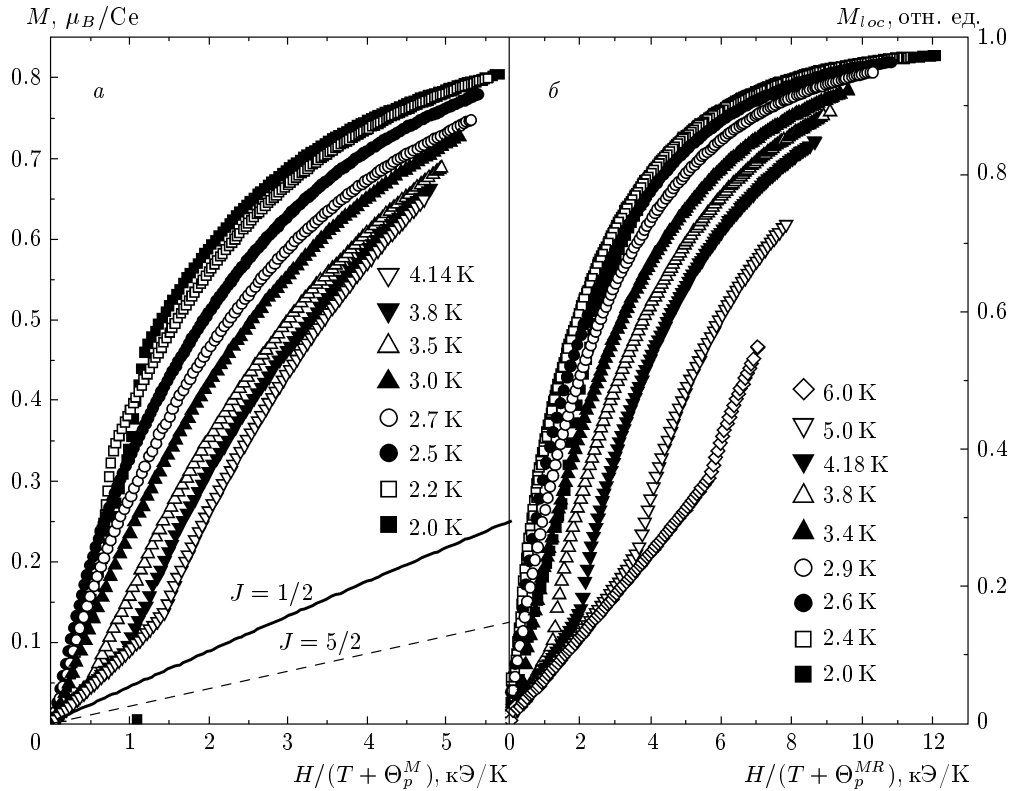


Рис. 12. Полевые зависимости объемной M (а) и локальной $M_{loc} = -\Delta\rho/\rho$ (б) намагнченостей в кюри-вейссовских координатах $M(H/(T + \Theta_p))$, построенные по результатам измерений для различных значений температуры в кристаллографических ориентациях $\mathbf{H} \parallel \langle 110 \rangle$ (а) и $\mathbf{H} \parallel \langle 110 \rangle$, $\mathbf{I} \parallel \langle 111 \rangle$ (б). Для сравнения приведены также бриллюэновские кривые намагнченности для $J = 1/2$ и $J = 5/2$ (см. текст)

температурой магнитной восприимчивости $\chi(T) \propto T^{-0.78 \pm 0.02}$ и эффективной массы $m^*(T) \propto T^{-0.8}$. В такой ситуации, воспользовавшись выражением для паулиевской магнитной восприимчивости вида

$$\chi_P(T) = \frac{1}{2}g^2\mu_B^2N(E_F) \approx \frac{1}{4}g^2\mu_B^2\frac{m^*k_F}{\pi^2\hbar^2} \quad (9)$$

(см., например, работу [48]), где $N(E_F)$ — плотность электронных состояний, k_F — импульс Ферми, изменение параметра $\chi_P(T)$ в парамагнитной фазе следует связать с перенормировкой плотности электронных состояний на уровне Ферми E_F . Действительно, найденные из независимых экспериментов параметры $\chi_P(T)$ и $m^*(T)$ с учетом условия $k_F \approx \text{const}$ оказываются линейно связанными в рамках соотношения (9).

Еще одним независимым параметром, который представляется важным при оценке эффектов перенормировки плотности электронных состояний в металле, является коэффициент термоэдс $S(T)$. Для диффузионной термоэдс проводника в соответствии

с формулой Мотта [49] имеем

$$S_d(T) = \frac{\pi^2 k_B^2}{3e} T \left(\frac{\partial \ln \sigma(E)}{\partial E} \right)_{E_F}. \quad (10)$$

Учитывая в приближении линейного отклика связь между проводимостью и характеристиками носителей заряда вида

$$\sigma(E) = \frac{1}{3} e^2 v_F^2 \tau(E) N(E), \quad (11)$$

где v_F — скорость Ферми, τ — время релаксации, для $S_d(T)$ получаем [49]

$$S_d(T) \approx \frac{\pi^2 k_B^2}{3e} T \left(\frac{\partial \ln N(E)}{\partial E} + \frac{\partial \ln \tau(E)}{\partial E} \right)_{E_F}. \quad (12)$$

Первое слагаемое в соотношении (12) определяет влияние на термоэдс эффектов перенормировки плотности электронных состояний $N(E_F)$ на уровне Ферми. Второе зависит от скорости изменения времени релаксации с энергией в окрестности E_F и

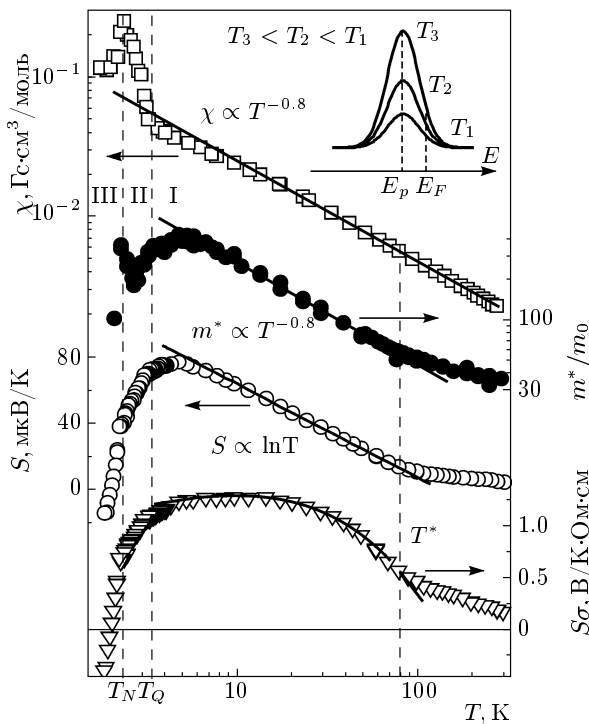


Рис. 13. Температурные зависимости магнитной восприимчивости χ , приведенной эффективной массы m^* (m_0 — масса свободного электрона), коэффициента термоэдс S и аддитивного параметра $S\sigma$ ($\sigma = 1/\rho$ — проводимость). На вставке схематически представлена перестройка плотности электронных состояний при возникновении многочастичного спин-поляронного резонанса при E_p в окрестности энергии Ферми E_F

достигает заметных положительных значений, когда пик плотности состояний $N(E_p)$ располагается несколько ниже уровня Ферми. В такой ситуации (см. вставку на рис. 13) для энергий вблизи максимума величины $N(E)$ преобладает резонансное рассеяние носителей, тогда как с ростом $E > E_p$ можно ожидать заметного возрастания $\tau(E)$. Следует подчеркнуть, что положительный знак коэффициента $S(T)$ в CeB₆ при $T > T_N$ (см. рис. 13) отвечает расположению резонанса при $E_p < E_F$. При этом с понижением температуры в интервале $T < T^* \approx 80$ К рост плотности состояний и эффективности резонансного рассеяния в CeB₆ при $E_p < E_F$ должен приводить к резкому возрастанию амплитуды обоих вкладов в $S(T)$, определяемых слагаемыми в правой части выражения (12).

Рассмотрим более детально полученные в работе экспериментальные результаты, характеризующие поведение транспортных и магнитных свойств CeB₆

в парамагнитной фазе в непосредственной окрестности магнитного перехода при $T_Q \approx 3.3$ К. На рис. 14 температурные зависимости магнитной восприимчивости χ и коэффициента Холла R_H при $T < 10$ К представлены в полулогарифмических и обратных логарифмических координатах. На рис. 14а также показаны данные исследований рассеяния поляризованных нейтронов в CeB₆ [19]. Приведенная по результатам работы [19] на рис. 14а температурная зависимость интенсивности рассеяния поляризованных нейтронов, по мнению ее авторов, отвечает возникновению заметной спиновой поляризации в 5d-полосе CeB₆ уже в парамагнитной фазе при $T \leq 7$ К. Как видно из представления данных в обратных логарифмических координатах (рис. 14б), возрастания как магнитной восприимчивости $\chi_p(T)$, так и коэффициента Холла $R_H(T)$, соответствующие возникновению спин-поляризованных состояний в парамагнитной фазе в интервале 3.3–7 К (область II на рис. 1, 11), оказываются скоррелированными между собой (см. также поведение параметра $\chi(T)/R_H(T)$ на вставке к рис. 11) и с хорошей точностью описываются соотношением вида

$$\chi(T) \propto R_H(T) \propto \exp(E_{sp}/k_B T), \quad (13)$$

определенным активационное поведение указанных параметров с энергией $E_{sp}/k_B \approx 3.3$ К $\approx T_Q$. Таким образом, по-видимому, формированию в парамагнитной фазе областей спиновой поляризации в окрестности Ce-центров в 5d-полосе CeB₆ отвечает характерная энергия связи образующихся спин-поляронных состояний, $E_{sp}/k_B \approx 3.3$ К. Следует подчеркнуть, что предположение аддитивности вкладов в зарядовый транспорт в CeB₆, которое ранее успешно применялось при анализе составляющих в проводимости, коэффициентах Холла и термоэдс соединения CeAl₂ [29] в рамках соотношений

$$\sigma = \sum_i \sigma_i, \quad S\sigma = \sum_i \sigma_i S_i, \quad (14)$$

может быть использовано также для выделения низкотемпературного вклада $S_2(T)$ в термоэдс CeB₆. Действительно, используя в диапазоне 7–80 К для одного из вкладов найденные асимптотики $\sigma_1(T) \propto T^{0.39}$ и $S_1(T) \propto \ln T$ и экспериментальные зависимости для проводимости $\sigma(T)$ и произведения $S(T)\sigma(T)$ (см. кривые на рис. 13, а также работу [27]), мы можем оценить поведение низкотемпературной составляющей коэффициента термоэдс $S_2(T)$. Как видно из данных, представленных на рис. 14б, полученная таким образом кривая $S_2(T)$

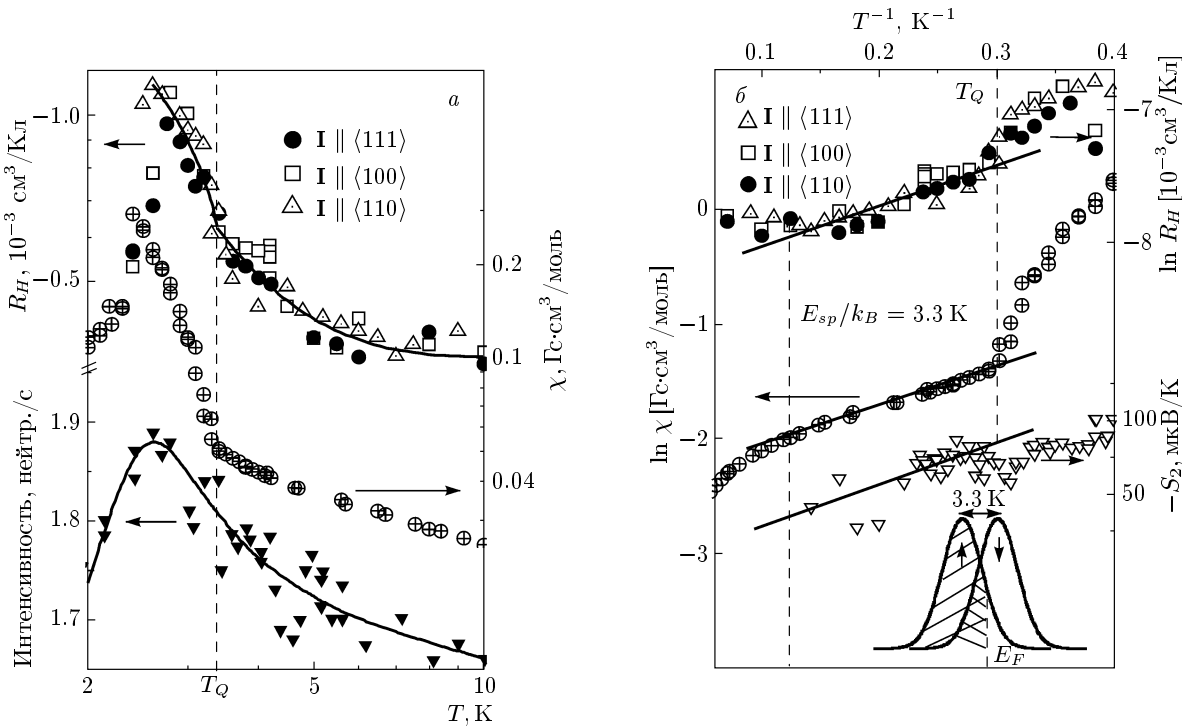


Рис. 14. Температурные зависимости магнитной восприимчивости χ и коэффициента Холла R_H при $T < 10$ К и $H_0 = 3.8$ кЭ в полулогарифмических (*а*) и обратных логарифмических (*б*) координатах. Представлены также данные работы [19], полученные по результатам исследований рассеяния поляризованных нейтронов (*а*, нижняя кривая) и низкотемпературная составляющая коэффициента термоэдс $S_2(T)$ (*б*, $E_{sp} = 3.3$ К — энергия активации спин-поляронного состояния). На вставке схематически показано спиновое расщепление резонанса вблизи E_F

в интервале 3.3–7 К также может быть описана активационной зависимостью вида

$$S_2(T) \approx \frac{k_B}{e} \frac{E_{sp}}{k_B T}.$$

Отметим, что найденное в работе активационное поведение $R_H(T)$ в целом аналогично наблюдавшемуся недавно для других соединений с тяжелыми фермионами на основе церия: CeAl₂ [30], CeAl₃ и CeCu₆ [43]. Воспользовавшись соотношением для радиуса локализации многочастичных состояний [30, 43],

$$a_{sp}^* = \frac{\hbar}{\sqrt{2E_{sp}m^*}}, \quad (15)$$

и используя найденные в работе для CeB₆ в интервале 3.3–7 К значения параметров $E_{sp}/k_B \approx 3.3$ К и $m^* \approx 400m_0$ (см. рис. 13), оценим значение $a_{sp}^* \approx 5.4$ Å. Полученная оценка достаточно хорошо согласуется с характерным размером многочастичных спин-поляронных (a_{sp}^*) и экситон-поляронных

(a_{ep}^*) состояний других известных соединений с сильными электронными корреляциями:

$$a_{sp}^*(CeAl_2) \approx 6\text{--}10 \text{ Å} [30],$$

$$a_{sp}^*(CeAl_3, CeCu_6) \approx 1.4\text{--}16 \text{ Å} [42, 43],$$

$$a_{ep}^*(SmB_6) \approx 6 \text{ Å} [50], \quad a_{sp}^*(FeSi) \approx 5 \text{ Å} [36].$$

Возникновение спин-поляронных многочастичных состояний малого радиуса в зоне проводимости CeB₆ может быть связано с «внутренним» обменным полем H_{sp} . Грубая оценка величины H_{sp} в рамках соотношения $H_{sp} \approx E_{sp}/\mu_B$ приводит к значению $H_{sp} \approx 45$ кЭ. В свою очередь, величина H_{sp} определяет снятие вырождения по спину и расщепление многочастичного резонанса при E_p в плотности состояний в окрестности энергии Ферми (см. вставку на рис. 14б). Следствием возникновения спиновой структуры многочастичного резонанса при E_p вблизи E_F является активационный рост магнитной восприимчивости в парамагнитной фазе с понижением температуры в интервале

3.3–7 К в гексабориде церия (см. рис. 14б). В такой ситуации скоррелированное активационное изменение параметров $\chi(T) \propto R_H(T) \propto \exp(E_{sp}/k_B T)$ (см. рис. 14б и вставку на рис. 11), по-видимому, следует связать с появлением дополнительного вклада в эффект Холла — возникновением аномальной компоненты вида $R_H(T) - R_0 \propto M(T)$. Переход к когерентному режиму спиновых флюктуаций в интервале 3.3–7 К и возникновение обменного поля $H_{sp} \approx 45$ кЭ, как нам представляется, следует рассматривать как ферромагнитный переход в системе спиновых поляронов малого радиуса. При этом с ростом плотности электронных состояний (см. вставку на рис. 13) при выполнении критерия, аналогичного стонеровскому, $UN(E_F) \geq 1$ (U — энергия кулоновского расталкивания), для каждого многочастичного комплекса можно ожидать возникновения в металлической матрице гексаборида церия ферромагнитного домена наноразмера (феррона по терминологии Нагаева [51]). Отметим далее, что в рамках развитого подхода магнитный переход при $T_Q \approx 3.3$ К можно рассматривать как переход в состояние с ВСП, возникающей в результате «включения взаимодействия» в системе ферромагнитных доменов наноразмера в матрице CeB₆. Поскольку переход к коллективному состоянию зонных электронов качественно меняет характер экранирования магнитного момента 4f-оболочки ионов Ce³⁺, при температурах $T < T_Q \approx 3.3$ К можно ожидать возникновения и усиления магнитного отклика локализованных магнитных моментов, связанных непосредственно с ²F_{5/2}-оболочкой ионов церия. По всей видимости, подобное поведение и наблюдается вблизи $T_Q(H)$ (см. рис. 1, 2, 14), когда магнитная восприимчивость в интервале температур 2.3–3.3 К возрастает в четыре–пять раз.

При анализе магнитных характеристик CeB₆ необходимо учитывать также результаты измерений микроволнового магнитопоглощения [32]. Применение ЭПР-спектроскопии к исследованию низкотемпературного магнитного отклика в CeB₆ привело к обнаружению необычного магнитного резонанса, возникающего и усиливающегося по амплитуде с понижением температуры при переходе из paramagnитной в АФК-фазу [32]. Найденный бесщелевой характер частотной зависимости резонансного поля позволил авторам работы [32] сделать заключение о возникновении при переходе в АФК-фазу ЭПР-подобной моды, связанной с независимой прецессией отдельных локализованных магнитных моментов во внешнем магнитном поле, очевидно противоречащее модели кондловской экранировки. По-

лученное значение g -фактора $g \approx 1.62$, отвечающее резонансной mode, сохраняется постоянным в широком частотном интервале 40–100 ГГц, соответствующем изменению резонансного поля H_{res} в пределах 16–42 кЭ. В связи с этим высажем предположение о том, что обнаруженный [32] необычный магнитный резонанс в CeB₆, по-видимому, может быть связан с прецессией незакранированных локализованных магнитных моментов ионов церия во внешнем магнитном поле $H < H_{sp}$. В пользу справедливости подобного предположения может свидетельствовать также величина g -фактора $g \approx 1.6$, определяющая значение $\mu_{eff} \approx 0.8\mu_B$ [32], близкое к эффективному магнитному моменту состояния Γ_7 иона Ce³⁺.

С ростом напряженности внешнего магнитного поля при выполнении обратного неравенства $H \geq H_{sp}$ можно ожидать заметного возрастания амплитуды ВСП и связанного с этим усиления взаимодействия ВСП и локализованных магнитных моментов ионов церия. Вследствие этого должно наблюдаться заметное ухудшение условий для наблюдения резонансного магнитопоглощения в АФК-фазе CeB₆. Выполненные нами измерения показали, что возрастание резонансного поля от $H_{res} \approx 24$ кЭ (резонансная частота примерно 60 ГГц) до 42 кЭ (примерно 100 ГГц) действительно приводит к значительному уменьшению амплитуды резонансной особенности в спектре магнитопоглощения CeB₆.

Переход в АФМ-фазу при $H < 20$ кЭ (см. рис. 7), на наш взгляд, может быть связан с «включением взаимодействия» в металлической матрице между локализованными магнитными моментами ионов церия, которое в условиях конкуренции с ВСП обуславливает возникновение сложного антиферромагнитного (область III на рис. 7) состояния в CeB₆. Напротив, с ростом магнитного поля ослабление антиферромагнитного взаимодействия между локализованными магнитными моментами и возрастание амплитуды ВСП приводят к быстрому подавлению антиферромагнитного состояния на локализованных магнитных моментах ионов Ce³⁺ и к переходу в ВСП-фазу в гексабориде церия. При этом появление отмеченной ранее аномальной компоненты в эффекте Холла (см. рис. 10б) и анизотропной составляющей намагниченности $\Delta M(\varphi)$ в АФМ-фазе (см. вставку на рис. 7), на наш взгляд, следует интерпретировать как изменение ориентации (перемагничивание) связанной антиферромагнитной структуры ферронов (ВСП) и локализованных магнитных моментов между эквивалентными направлениями в ОЦК-решетке гексаборида церия.

При обсуждении необычной магнитной струк-

туры АФМ-фазы CeB_6 особо отметим результаты экспериментов по магнитной дифракции нейтронов [9, 47]. В частности, в работах [9, 47] было показано, что наряду с основными рефлексами, отвечающими элементарной ячейке магнитной структуры с размерами $(2a, 4a, 4a)$ ($a(\text{CeB}_6) \approx 4.14 \text{ \AA}$), в спектрах магнитного рассеяния нейтронов появляется дополнительная интенсивность, которая, по мнению авторов работы [9], может быть связана с ферромагнитной компонентой магнитной структуры CeB_6 .

С представленным выше сценарием усиления зонного магнетизма и с формированием сложного магнитоупорядоченного состояния, возникающего в матрице CeB_6 при температурах $T \ll T^* \approx 80 \text{ K}$ в результате взаимодействия тяжелых носителей заряда — спиновых поляронов и локализованных магнитных моментов ионов Ce^{3+} , — на наш взгляд, находится в согласии необычная фазовая диаграмма гексаборида церия. Так, фазовая граница, разделяющая парамагнитную (область I) и антиферроквадрупольную (область II) фазы CeB_6 , характеризуется положительной производной, $(dH/dT)_{T_c} > 0$ (см. рис. 7). Подобное поведение критической температуры $T_c(H)$ было теоретически предсказано [52, 53] для проводников с ВСП-неустойчивостью, причем фазовая диаграмма, практически идентичная приведенной на рис. 7, наблюдалась [53] для квазидвумерного органического проводника α -(BEDT-TTF)₂KHg(SCN)₄ с ВСП.

Среди металлов, кристаллизующихся в ОЦК-структуре, наиболее известным примером зонного антиферромагнетика с ВСП-неустойчивостью является хром (см., например, [54]), для которого при описании перехода в состояние с ВСП наиболее часто используется модель экситонного диэлектрика, впервые предложенная в работах [55, 56]. Следует также отметить, что в случае легированных редкоземельными атомами гексаборидов щелочно-земельных элементов $\text{La}_x\text{Ca}_{1-x}\text{B}_6$ и $\text{La}_x\text{Sr}_{1-x}\text{B}_6$ [57, 58], а также для соединения SmB_6 с промежуточной валентностью [50] наиболее адекватная интерпретация аномалий транспортных и термодинамических характеристик основывается на возникновении режима экситонной неустойчивости, сопровождающейся частичной либо полной диэлектризацией спектра в этих соединениях. В такой ситуации нам представляется обоснованным предположить реализацию подобного сценария и в случае CeB_6 . Топология поверхности Ферми соединения CeB_6 , как и LaB_6 и PrB_6 [59, 60], для ряда направлений удовлетворяет условию конгруэнтности (нестинга) электронных и дырочных участков,

необходимого для формирования волн зарядовой и спиновой плотности (ВЗП/ВСП-состояния) [54–56].

В соответствии с подходом, развитым в работах Волкова с соавторами [61, 62] и сравнительно недавно получившим дальнейшее развитие применительно к гексаборидам $\text{La}_x\text{Ca}_{1-x}\text{B}_6$ и $\text{La}_x\text{Sr}_{1-x}\text{B}_6$ [57, 58], для гексаборида церия можно предположить, что при $T = T^* \approx 80 \text{ K}$ реализуется переход в состояние с ВЗП и частичной диэлектризацией спектра. В свою очередь, при низких температурах в рамках данной модели можно ожидать перехода в состояние с ВСП [54], в фазу экситонного ферромагнетика [61, 62], либо в неоднородное многодоменное магнитное состояние с электронным фазовым расслоением [57, 58]. При рассмотрении подобного сценария вследствие развития электронной неустойчивости (ВЗП вдоль ряда направлений) ожидается появление в образце случайного потенциального рельефа, приводящего к возникновению режима слабой локализации в гексабориде церия при промежуточных температурах. В такой ситуации особый интерес для выяснения природы перехода при $T^* \approx 80 \text{ K}$ и необычного низкотемпературного магнитоупорядоченного состояния CeB_6 при $T < T_Q \approx 3.3 \text{ K}$ должны представлять комплексные прецизионные рентгеноструктурные исследования в сочетании с детальными измерениями шумовых, транспортных и термодинамических характеристик гексаборида церия при гелиевых и промежуточных температурах.

5. ЗАКЛЮЧЕНИЕ

Гексаборид церия представляется одним из наиболее сложных и необычных объектов в классе соединений с сильными электронными корреляциями. В условиях, когда концентрация n_e зонных носителей, имеющих преимущественно $5d$ -характер, оказывается практически равной концентрации n_{4f} $4f$ -центров, вплоть до настоящего времени считалось, что это соединение с металлической проводимостью является классическим примером кондо-решетки (dense Kondo system). Кроме того, среди особенностей $^2F_{5/2}$ -состояния церия в этом соединении достоверно установленным считалось необычное квартетное основное состояние Γ_8 иона Ce^{3+} , с которым в соответствии с общепринятым подходом связывалось формирование при $T_Q \approx 3.3 \text{ K}$ магнитоупорядоченного состояния орбитальных магнитных моментов $4f$ -оболочки церия (антиферроквадрупольная фаза), сменяющееся, в свою очередь, антиферромагнитной модулированной структурой

локализованных магнитных моментов ионов церия при $T_N \approx 2.3$ К. В то же время неоднократно отмечавшийся исследователями и рассмотренный выше во Введении набор противоречий в поведении физических характеристик этого соединения в сравнении с предсказаниями традиционно используемых теоретических моделей стимулировал продолжение комплексных всесторонних исследований CeB₆.

Для выяснения природы парамагнитной и магнитоупорядоченных фаз гексаборида церия в настоящей работе выполнены прецизионные измерения транспортных и магнитных характеристик при гелиевых и промежуточных температурах в магнитных полях до 70 кЭ на монокристаллических образцах CeB₆ высокого качества. Анализ полученных результатов в совокупности с данными измерений термоэдс [27], спектров неупругого рассеяния нейтронов [9, 17, 19, 47] и ЭПР [32] позволяет предложить альтернативное общепринятому описание формирования и перестройки многочастичных состояний, определяющих свойства этого соединения сильными электронными корреляциями.

В рамках предложенной в работе интерпретации в парамагнитной фазе CeB₆ температурной зависимости магнитной восприимчивости вида $\chi(T) \propto T^{-\beta}$ с индексом $\beta \approx 0.8$ отвечает паулиевский парамагнетизм зонных состояний, перенормируемых в условиях сильного электрон-электронного взаимодействия. Зонным парамагнетизмом определяется также линейный отклик намагниченности на внешнее поле в парамагнитной фазе CeB₆ во всем используемом в работе интервале магнитных полей. С уменьшением температуры в окрестности азотной температуры ($T^* \approx 80$ К) наблюдается переход к асимптотике слабой локализации для удельного сопротивления $\rho_m(T) \propto T^{-\alpha}$ с показателем степени $\alpha \approx 0.4$, которая, по-видимому, отвечает возникновению ВЗП вдоль ряда направлений в ОЦК-решетке CeB₆ в 5d-полосе. Перенормировка с понижением температуры плотности электронных состояний, обусловленная образованием и дальнейшим возрастанием амплитуды спин-поляронного резонанса при $E_p < E_F$ в окрестности энергии Ферми, вызывает в интервале $3.3 \text{ K} \leq T \leq 7 \text{ K}$ (область Ib на рис. 1, 11) перестройку структуры многочастичных состояний. При выполнении критерия, аналогичного стонеровскому, из спин-поляронных состояний возникают ферромагнитные области наноразмера (ферроны, $a_{sp}^* \approx 5 \text{ \AA}$) и обусловленные этим активационные зависимости коэффициента Холла и магнитной восприимчивости вида $\chi_p(T) \propto R_H(T) \propto \exp(E_{sp}/k_B T)$ с энергией активации $E_{sp}/k_B \approx 3.3 \text{ K} \approx T_Q$. В

рамках предложенного подхода при температуре T_Q происходит фазовый переход в ВСП-состояние в системе взаимодействующих ферронов, причем в результате формирования коллективного состояния зонных носителей заряда «размороженными» оказываются локализованные магнитные моменты, связанные с 4f-оболочкой ионов церия. Появление этих моментов обусловливает рост магнитной восприимчивости в четыре-пять раз и возникновение бесщелевой моды магнитного резонанса в АФК-фазе CeB₆. Отметим, что выполненный в настоящей работе анализ магнитной фазовой диаграммы гексаборида церия (см. рис. 7) также свидетельствует в пользу предложенного нами подхода к интерпретации транспортных и термодинамических характеристик CeB₆. В то же время для проверки сделанных предположений требуется проведение целого ряда дополнительных исследований, в том числе прецизионного анализа электронной структуры, изучения шумовых характеристик CeB₆ при гелиевых и промежуточных температурах, а также исследования магнитного резонанса при ориентации магнитного поля вдоль различных кристаллографических направлений. Сравнение анизотропии «резонансной составляющей» с анизотропией магнитных свойств гексаборида церия позволит ответить на вопрос о природе спинового и зарядового упорядочения в этом соединении с сильными электронными корреляциями.

Работа выполнена в рамках проектов РФФИ (№ 04-02-16721) и INTAS (№ 03-51-3036), а также при финансовой поддержке программы ОФН РАН «Сильнокоррелированные электроны в полупроводниках, металлах, сверхпроводниках и магнитных материалах» и Фонда содействия отечественной науке.

ЛИТЕРАТУРА

1. Ю. Б. Падерно, Г. В. Самсонов, ДАН **137**, 646 (1961).
2. C. Marcenat, D. Jaccard, J. Sierro et al., J. Low Temp. Phys. **78**, 261 (1990).
3. N. Sato, S. Kunii, I. Oguro et al., J. Phys. Soc. Jpn. **53**, 3967 (1984).
4. N. Sato, S. B. Woods, T. Komatsubara et al., J. Magn. Magn. Mat., **31–34**, 417 (1983).
5. J. M. Effantin, J. Rossat-Mignod, P. Burlet et al., J. Magn. Magn. Mat. **47–48**, 145 (1985).

6. N. B. Brandt, V. V. Moshchalkov, S. N. Pashkevich et al., Sol. St. Comm. **56**, 937 (1985).
7. K. Winzer and W. Felsch, J. Phys. **C6–39**, 838 (1978).
8. M. Takigawa, H. Yasuoka, T. Tanaka, and Y. Ishizawa, J. Phys. Soc. Jpn. **52**, 728 (1983).
9. S. Horn, F. Steglich, M. Loewenhaupt et al., Z. Phys. B **42**, 125 (1981).
10. И. Ю. Данилов, С. В. Малеев, Письма в ЖЭТФ **61**, 137 (1985).
11. D. Hall, Z. Fisk, and R. G. Goodrich, Phys. Rev. B **62**, 84 (2000).
12. F. Givord, J. X. Boucherle, P. Burlet et al., J. Phys.: Condens. Matter **15**, 3095 (2003).
13. M. Sera, H. Ichikawa, T. Yokoo et al., Phys. Rev. Lett. **86**, 1578 (2001).
14. M. Saitoh, N. Okada, E. Nishibori et al., J. Phys. Soc. Jpn. **71**, 2369 (2002).
15. A. Schenck, F. N. Gygax, and S. Kunii, Phys. Rev. Lett. **89**, 037201 (2002).
16. A. Schenck, F. N. Gygax, G. Solt et al., Phys. Rev. Lett. **93**, 257601 (2004).
17. O. Zacharko, P. Fischer, A. Schenk et al., Phys. Rev. B **68**, 214401 (2003).
18. F. Yakhya, V. Plakhty, H. Suzuki et al., Phys. Lett. A **285**, 191 (2001).
19. V. Plakhty, L. P. Regnault, A. V. Goltsev et al., Phys. Rev. B **71**, R11510 (2005).
20. M. Kawakami, S. Kunii, T. Komatsubara, and T. Kasuya, Sol. St. Comm. **36**, 435 (1980).
21. T. Komatsubara, N. Sato, S. Kunii et al., J. Magn. Magn. Mat. **31–34**, 368 (1983).
22. C. Terzioglu, D. A. Browne, R. G. Goodrich et al., Phys. Rev. B **63**, 235110 (2001).
23. K. Hanzawa and T. Kasuya, J. Phys. Soc. Jpn. **53**, 1809 (1984).
24. N. E. Sluchanko, A. V. Bogach, G. S. Burkhanov et al., Physica B **359–361**, 308 (2005).
25. N. E. Sluchanko, A. V. Bogach, G. S. Burkhanov et al., E-print archives, cond-mat/0511600.
26. K. Yosida, Phys. Rev. **107**, 396 (1957).
27. M. I. Ignatov, A. V. Bogach, V. V. Glushkov et al., Physica B **378–380**, 780 (2006).
28. Н. Ю. Шицевалова, Дисс. ... канд. физ.-матем. наук, Институт низких температур и структурных исследований Польской академии наук, Вроцлав (2001).
29. V. N. Trofimov, Cryogenics **32**, 513 (1992).
30. Н. Е. Случанко, А. В. Богач, В. В. Глушков и др., ЖЭТФ **125**, 906 (2004).
31. W. L. McMillan, Phys. Rev. B **24**, 2739 (1981).
32. S. V. Demishev, A. V. Semeno, Yu. B. Paderno et al., Phys. Stat. Sol. (b) **242**, R27 (2005); S. V. Demishev, A. V. Semeno, A. V. Bogach et al., J. Magn. Magn. Mat. **300**, e534 (2006).
33. V. Yu. Galkin, W. A. Ortiz, E. Fawcett et al., J. Phys.: Condens. Matter **10**, 4911 (1998).
34. R. S. Fishman, V. Yu. Galkin, and W. A. Ortiz, J. Phys.: Condens. Matter **10**, 6347 (1998).
35. A. Takase, K. Kojima, T. Komatsubara, and T. Kasuya, Sol. St. Comm. **36**, 461 (1985).
36. В. В. Глушков, И. Б. Воскобойников, С. В. Демишиев и др., ЖЭТФ **126**, 444 (2004); Н. Е. Случанко, В. В. Глушков, С. В. Демишиев и др., ЖЭТФ **119**, 359 (2001).
37. N. Sato, A. Sumiyama, S. Kunii et al., J. Phys. Soc. Jpn. **54**, 1923 (1985).
38. Y. Onuki, A. Umezawa, W. K. Kwok et al., Phys. Rev. B **40**, 11195 (1989).
39. T. Tanaka, E. Bannai, S. Kawai, and T. Yamani, J. Cryst. Growth **30**, 193 (1975).
40. P. Coleman, P. W. Anderson, and T. V. Ramakrishnan, Phys. Rev. Lett. **55**, 414 (1985).
41. M. Hadzic-Leroux, A. Hamzic, A. Fert et al., Europhys. Lett. **1**, 579 (1986).
42. N. E. Sluchanko, V. V. Glushkov, S. V. Demishev et al., Physica B **378–380**, 773 (2006); N. E. Sluchanko, V. V. Glushkov, S. V. Demishev et al., E-print archives, cond-mat/0505386.
43. D. N. Sluchanko, V. V. Glushkov, S. V. Demishev et al., J. Magn. Magn. Mat. **300**, e288 (2006); N. E. Sluchanko et al., E-print archives, cond-mat/0506502.
44. P. Schlottman, Phys. Rep. **181**, 1 (1989).
45. Chun Chen, Zheng-Zhong Li, and Wang Xu, J. Phys.: Condens. Matter **5**, 95 (1993).
46. Yu. S. Grushko, Yu. B. Paderno, K. Ya. Mishin et al., Phys. Stat. Sol. (b) **128**, 591 (1985).

47. M. Loewenhaupt, J. M. Carpenter, and C. K. Loong, J. Magn. Magn. Mat. **52**, 245 (1985).
48. Р. Уайт, *Квантовая теория магнетизма*, Мир, Москва (1985), с. 105.
49. Дж. Займан, *Принципы теории твердого тела*, Мир, Москва (1974), с. 270.
50. N. E. Sluchanko, V. V. Glushkov, B. P. Gorshunov et al., Phys. Rev. B **61**, 15, 9906 (2000); N. E. Sluchanko, V. V. Glushkov, S. V. Demishev et al., Phys. Rev. B **64**, 153103 (2001).
51. Э. Л. Нагаев, *Физика магнитных полупроводников*, Наука, Москва (1979), с. 208.
52. G. Montambaux, Phys. Rev. B **38**, 4788 (1988).
53. T. Sasaki, A. Lebed', T. Fukase, and N. Toyota, Phys. Rev. B **54**, 12969 (1996).
54. Н. И. Куликов, В. В. Тугушев, УФН **144**, 643 (1984).
55. Л. В. Келдыш, Ю. В. Копаев, ФТТ **6**, 2791 (1964).
56. А. Н. Козлов, Л. А. Максимов, ЖЭТФ **48**, 1184 (1965)
57. V. Barzykin and L. P. Gor'kov, Phys. Rev. Lett. **84**, 2207 (2000).
58. L. Balents and C. M. Varma, Phys. Rev. Lett. **84**, 1264 (2000).
59. H. D. Langford and W. M. Temmerman, J. Magn. Magn. Mat. **76–77**, 43 (1988).
60. H. Harima, O. Sakai, T. Kasuya, and Y. Yanase, Sol. St. Comm. **66**, 603 (1988).
61. Б. А. Волков, Ю. В. Копаев, А. И. Русинов, ЖЭТФ **68**, 1849 (1975).
62. Б. А. Волков, А. И. Русинов, Р. Х. Тимеров, ЖЭТФ **70**, 1130 (1976).